

МІНІСТЕРСТВО ОСВІТИ І НАУКИ УКРАЇНИ
КИЇВСЬКИЙ НАЦІОНАЛЬНИЙ УНІВЕРСИТЕТ ТЕХНОЛОГІЙ ТА
ДИЗАЙНУ

ФАКУЛЬТЕТ МЕХАТРОНИКИ ТА КОМП'ЮТЕРНИХ ТЕХНОЛОГІЙ

КАФЕДРА КОМП'ЮТЕРНИХ НАУК

КВАЛІФІКАЦІЙНА РОБОТА

на тему:

Розробка математичного та програмного забезпечення для побудови щільних
укладок плоских об'єктів, близьких до опуклих

Рівень вищої освіти	другий (магістерський)_____
Спеціальність 122	Комп'ютерні науки_____
Освітня програма	Комп'ютерні науки_____

Виконав: студент групи МгІТ-2-22

Тарас МАМОНОВ

Науковий керівник: д.т.н., проф. **Віктор ЧУПРИНКА**

Рецензент д.ф.-м.н., проф. **Сергій КРАСНИТСЬКИЙ**

Київ 2023

КИЇВСЬКИЙ НАЦІОНАЛЬНИЙ УНІВЕРСИТЕТ ТЕХНОЛОГІЙ
ТА ДИЗАЙНУ

Факультет мехатроніки та комп'ютерних технологій

Кафедра комп'ютерні науки

Рівень вищої освіти другий (магістерський)

Спеціальність 122 Комп'ютерні науки

Освітня програма Комп'ютерні науки

ЗАТВЕРДЖУЮ

Завідувач кафедри КН

_____ Володимир ЩЕРБАНЬ

«___» _____ 2023__ року

З А В Д А Н Н Я

НА КВАЛІФІКАЦІЙНУ РОБОТУ СТУДЕНТА

Мамонову Тарасу Андрійовичу

1. Тема роботи: Розробка математичного та програмного забезпечення для побудови щільних укладок плоских об'єктів, близьких до опуклих.
Науковий керівник роботи д.т.н., професор Чупринка Віктор Іванович, затверджені наказом закладу вищої освіти від 12 . 09.2023 року , № 210-уч.
2. Вихідні дані до кваліфікаційної роботи: Розробка кафедри комп'ютерних наук
3. Зміст кваліфікаційної роботи (перелік питань, які потрібнорозробити)
Вступ, розділ 1(САПР взуття); розділ 2 (Математичне забезпечення для побудови щільних укладок плоских об'єктів, близьких до опуклих); розділ 3(Програмне забезпечення для побудови щільних укладок плоских об'єктів, близьких до опуклих). Додатки – програмні коди модулів системи.
4. Дата видачі завдання 08.2023р.

КАЛЕНДАРНИЙ ПЛАН

№ з/п	Назва етапів дипломної магістерської роботи	Терміни виконання етапів	Примітка про виконання
1	Вступ	30.08.2023	
2	Розділ 1 САПР взуття	06.09.2023	
3	Розділ 2. Математичне забезпечення для побудови щільних укладок плоских об'єктів, близьких до опуклих	28.09.2023	
4	Розділ 3. Програмне забезпечення для побудови щільних укладок плоских об'єктів, близьких до опуклих	21.10.2023	
5	Висновки	29.10.2023	
6	Оформлення кваліфікаційної роботи (чистовий варіант)	06.11.2023	
7	Подача кваліфікаційної роботи (проєкту) науковому керівнику для відгуку (за 14 днів дозахисту)		
8	Подача кваліфікаційної роботи (проєкту) для рецензування		
9	Перевірка кваліфікаційної роботи на наявність ознак плагіату		
10	Подання кваліфікаційної роботи на затвердження завідувачу кафедри		

З завданням ознайомлений:

Студент

(підпис)

Тарас МАМОНОВ

(ім'я та прізвище)

Науковий керівник роботи

(підпис)

Віктор ЧУПРИНКА

(ім'я та прізвище)

АНОТАЦІЯ

Мамонов Т.А. Розробка математичного та програмного забезпечення для побудови щільних укладок плоских об'єктів, близьких до опуклих – Рукопис.

Дипломна магістерська робота за спеціальністю 122- «Комп'ютерні науки» – Київський національний університет технологій та дизайну, Київ, 2023 рік.

В роботі запропонований методи та алгоритми для побудови щільних укладок плоских об'єктів, близьких до опуклих. Запропоновані алгоритми реалізовані в програмний продукт для автоматизованої побудови щільних укладок плоских об'єктів, близьких до опуклих.

Розроблений програмний продукт має дружній інтерфейс та не потребує спеціальних знань з комп'ютерної техніки для роботи з ним.

Ключові слова: математичне та програмне забезпечення, щільні укладки, плоскі об'єкти

ABSTRACT

Mamonov T.A. Development of mathematical and software for constructing dense stacks of flat objects close to convex ones - Manuscript.

Master's thesis in specialty 122- "Computer Science" - Kyiv National University of Technology and Design, Kyiv, 2023.

The paper proposes methods and algorithms for constructing dense stacks of flat objects close to convex ones. The proposed algorithms are implemented in a software product for the automated construction of dense stacks of flat objects close to convex ones.

The developed software product has a friendly interface and does not require special knowledge of computer technology to work with it.

Keywords: mathematical and software, dense stacking, flat objects

Зміст

ВСТУП.....	7
1.САПР ВЗУТТЯ	10
1. 1. Оглядова характеристика САПР взуття.....	10
1.2. Структура і характеристика модульної САПР "Ірис"	14
Висновки до першого розділу	18
2.РОЗРОБКА МАТЕМАТИЧНОГО ЗАБЕЗПЕЧЕННЯ ДЛЯ ПРОЄКТУВАННЯ ДЕКОРАТИВНИХ ЕЛЕМЕНТІВ НА ДЕТАЛЯХ ВЗУТТЯ	20
2.2. Решітчасті укладки	20
2.3. Аналітичний опис зовнішнього контуру деталі та її положення на площині.....	23
2.4. Аналітичний опис умов взаємного неперетину деталей в укладці.....	25
2.5. Алгоритм побудови опуклої оболонки для многокутника.....	31
Висновки до другого розділу	33
3.РОЗРОБКА ПРОГРАМНОГО ЗАБЕЗПЕЧЕННЯ ДЛЯ ПРОЄКТУВАННЯ ДЕКОРАТИВНИХ ЕЛЕМЕНТІВ НА ДЕТАЛЯХ ВЗУТТЯ	35
3.2. Вимоги до програмного продукту.....	35
3.3. Програмні засоби	36
3.4. Опис основних процедур розробленого програмного продукту, які забезпечують побудову щільних укладок для плоских об'єктів, близьких до опуклих	37
3.5. Інструкції по роботі з програмним продуктом	49
Висновки до третього розділу	52
ВИСНОВКИ.....	54
СПИСОК ВИКОРИСТАНИХ ДЖЕРЕЛ	
Додаток А. Публікація за темою випускної магістерської роботи.....	58
Додаток Б. Листинг програмного продукту.....	68

ВСТУП

Ринок товарів на замовлення постійно зростає, все більше у всьому світі стає людей зацікавлених у придбанні продукції на замовлення, яка б відповідала їхнім індивідуальним потребам, смакам, соціальному статусу чи рангу. Взуття служить для полегшення пересування та запобігання травмам стопи.

Проте, вибір доступного взуття має деякі потенційно суперечливі критерії для споживачів, де доводиться часто вибирати між комфортом і естетикою. Більшість, як правило, віддають перевагу візуально-естетичним показникам над комфортним взуттям, але нажаль цей вибір в результаті призводить до різноманітних паталогій стопи в процесі носіння виробу та після. Крім того, більшість виробників взуття зараз імітують сучасні модні стилі у виробках, але йдуть на компроміс з якістю, щоб знизити вартість товару.

Взуття повинно відповідати низці вимог, виконувати захисну, утилітарну та естетично-ергономічні функції, оскільки це дозволить створити оптимальні умови для нормальної діяльності стопи та організму в цілому. Естетично-ергономічні функції дозволяють створити природне середовище для стопи без її деформацій, тобто, за формою та окремими абрисами взуття має відповідати сформованій стопі. Певною мірою забезпечення естетично-ергономічних функцій взуття залежить і від якості проектування, тому що раціонально спроектоване взуття з врахуванням анатомо-морфологічних властивостей стопи забезпечує раціональність даного виробу у подальшій його експлуатації.

Протягом тисячоліть ремісництво взуття завжди має свій попит та відіграє важливу роль у суспільстві. Виробники взуттєвих підприємств, студії та ательє пропонують пошив індивідуального взуття для клієнта. Майстри взуття задовольняють конкретні запити персоналізованої продукції споживача.

При класичному методі проектування взуття на колодку наносять допоміжні і стильові лінії, а потім за цими контурами проектують деталі. Таким чином ми визначаємо частину тривимірної поверхні колодки, потім

«розплющуємо» її для отримання плоских шаблонів і викроювання деталей, а потім заготовку, зібрану з плоских деталей, зтягуємо на колодку, перетворюючи її знову в просторовий об'єкт. Така подвійна трансформація часто призводить до того, що отриманий виріб не зовсім відповідає задуму модельєра.

Постійно зростаючі вимоги до дизайну взуття, його якості при одночасній необхідності скорочення термінів розробки нових моделей і їхнього запуску в серійне виробництво, а також утримання цін на конкурентоздатному рівні в буквальному значенні, змушують виробників впроваджувати новітні технології на всіх етапах проектування та виготовлення взуття. Безпосереднє перенесення зарубіжного досвіду, технологій, устаткування не завжди прийнятне, оскільки, вимагає значних капіталовкладень, практично недоступних для сучасного вітчизняного підприємства. Розробка власних систем автоматизованого проектування в першу чергу вимагає попередньої розробки їх наукової аналітичної основи, спираючись при цьому на концепцію виробництва, характерного для масового, але враховуючи при цьому анатомо-морфологічні властивості стоп.

В сучасних умовах швидкої зміни моди і смаків споживача та наявності великого асортименту взуття, прискорюється процес морального старіння виробів, тому важливо, щоб темпи їх проектування були якнайшвидшими. Для конкурентоспроможності виробів взуттєвого виробництва і підвищення його ефективності першочергове значення має рівень конструкторсько-технологічної підготовки, якої сприяє застосування систем автоматизованого проектування (САПР). За останній час у нас в країні, як і в усьому світі, здійснюється комп'ютеризація взуттєвого виробництва, активно впроваджуються нові інформаційні технології.

Методи дослідження. Теоретичні дослідження роботи ґрунтуються на комплексі основних положень виробництва взуття та застосування комп'ютерних наук при вирішенні поставленої задачі.

Експериментальні дослідження заключалися в тестуванні розробленого продукту для проектування декоративних елементів на деталях взуття.

Наукова новизна полягає у розробці математичного та програмного забезпечення для проектування декоративних елементів на деталях взуття.

Апробація результатів магістерської роботи. Основні положення і результати магістерської роботи протягом 2023 року були представлені та одержали позитивну оцінку на міжнародній науковій конференції:

Публікації. За темою магістерської роботи «Розробка математичного та програмного забезпечення для проектування декоративних елементів на деталях взуття» опубліковано одна наукових робота.

Структура та обсяг магістерської роботи. Магістерська робота містить вступ, три розділи, загальні висновки досліджень, список використаних джерел, додатки.

1. САПР ВЗУТТЯ

1. 1. Оглядова характеристика САПР взуття

Система автоматизованого проектування (САПР) взуття являє собою організаційно-технічну систему, що складається з комплексу коштів автоматизованого проектування взаємодіючого з розробниками проектно-конструкторської документації.

САПР реалізовується в різних варіантах проектування[1-3]:

1. Просторове проектування. У його основу встановлені алгоритми, що забезпечують роботу пристроїв знімання параметрів поверхні взуттєвої колодки і отримання умовної розгортки для розробки плоских деталей конструкції (система 3D). Алгоритми просторового проектування на вітчизняних і зарубіжних підприємствах не знаходять широкого практичного застосування через складність і високу вартість таких пристроїв.

2. Площинне проектування. Ведучою є концепція розробки і вдосконалення алгоритмів функціонування автоматизованих систем площинного проектування (система 2D). Структура побудови такого програмного комплексу базується на двох основних принципах:

- спадкоємність і органічна єдність з діючими структурами підготовки виробництва;
- об'єднання і рішення максимально можливого числа задач конструкторської підготовки з урахуванням можливостей комп'ютерної техніки.

Аналіз чого склався структури процесу підготовки проекту і потреби виробництва передбачає наявність в системі проектування наступних базових програмних модулів:

- введення початкової інформації;
- проектування моделі і її деталей;
- градирування контурів деталей;
- виведення на графічний або друкуючий пристрій;

- контроль укладиваємості деталей;
- розрахунок трудомісткості зборки моделі;
- формування паспорта моделі.

Пакет прикладних програм являє собою комплекс програм, працюючий під управлінням головної програми і призначений для рішення певного класу задач, як правило, близьких за змістом або по вживаних математичних методах. Пакет прикладних програм є найбільш довершеною формою програмного забезпечення САПР.

Системи і програмні комплекси автоматизованого проектування взуття: Уперше САПР взуття успішно демонструвалися в Пірмазенсе (ФРН), а потім на виставці "Тиждень шкіри" в Парижі в 1985 році. Розробки САПР знайшли підтримку у ведучих взуттєвих фірм, що надали свої підприємства для випробування експериментальних систем.

Двухкоординатні системи автоматизованого проектування на всіх підприємствах зарекомендували себе добре, хоч і з різним рівнем продуктивності. Проте, сам вибір системи для конкретного підприємства залишається досить складним, оскільки необхідний, щоб системи відповідали технічним умовам виробництва

Трёхкоординатні системи автоматизованого проектування (об'ємного) ще знаходяться на стадії становлення. При створенні моделі взуття основний акцент робиться на отриманні малюнка, що відображає задум художника-модельєра. Конструювання ж вимагає геометрично точного зображення реальної моделі. Отримують зображальну інформацію і геометричні дані в трьохмірному уявленні. Якщо САПР здатна представляти зображальну інформацію, то систему називають ескізною, зображальною, графічною. Якщо САПР дозволяє отримувати геометричні дані, то її можна використати для управління роботою обладнання.

Так, отримані з допомогою САПР геометричні дані, необхідні для розрахунку траєкторії руху робочих органів взуттєвих машин, використовуються в системі автоматизованого виробництва. За рубежом використовується багато систем CAD, серед них: Gradamatic, Apex - фірми Camscо (США). У останніх варіантах цих систем виконують наступні операції:

- конструювання деталей;
- градирование деталей;
- оцінка моделей, аналіз економічності (вартість і трудомісткість);
- визначення площ;
- калькуляція витрати матеріалів і заробітної плати.

До числа найбільш відомих і поширених відносяться:

Система FDS Microdynamics (США)[4]

Система проектування взуття FDS розроблена як серія модулів. Завдяки своїй конструкції FDS може охоплювати 1000 робочих місць або АРМ. У FDS кожне робоче місце має свій комп'ютер і запам'ятовуючий пристрій. Все це тісно пов'язане з іншими робочими місцями і центром. Існує модель системи FDS -50 для двухразмерного моделювання нових фасонів взуття швидких зарисовок.

Модель FDS -1500 дозволяє проектувати, конструювати, градировать і робити укладиваемость деталей в двомірних координатах. Модель FDS -300 і FDS -350 - трьохмірні проектуючі системи.

Система фірми Clarks

Система базується на автоматичному описі складної поверхні колодки з використанням графічних пристроїв з числовим управлінням. Роботи, проведені на фірмі, показали, що прийнята сьогодні система двухразмерного градирования приводить до значних витрат матеріалу. Тому фахівці фірми розробили систему, яка градирует заготовлі в трьох напрямках. Цей метод використовується у Франції. Фірма USM (Англія) створила систему CAD-CAM, яка дозволяє по числовій

інформації за допомогою терміналу отримувати креслення деталей. Фірма розробила три методи підготовки зразка.

У одному модельєр вичерчує модель зразка в двухкоординатній сітці на моніторі ЕОМ, що включає телевізійний екран, креслярський програматор, що має в своїй пам'яті 16,7 млн різних колірних відтінків, ліній, дуг.

У другому методі дані про взуття вводяться в ЕОМ за допомогою телевізійної камери. Оператор може задати колір, комбінацію матеріалів і т. д. У третьому методі обробляється інформація в трьохмірному вимірюванні. Трьохмірний координатор знімає координати з колодки, ЕОМ тут же дає точну копію. На цьому трьохмірному зображенні колодки конструктор на екрані дисплея зображає деталі взуття. Далі конструктор використовує інформацію про матеріали. Комп'ютер розраховує площі деталей, визначає економічність і т. д.

Система фірми Lectra[5]

З середини 80-х років більше за 300 систем фірми Lectra працюють у взуттєвій промисловості Франції, Англії, ФРН, Італії, США. Таким же чином фірма Dic & Jordan спільно з Bata Engineering створила систему підготовки трьохмірних зразків, які використовуються для контролю виробів при виготовленні різаків і в інших операціях САМ. Система ВАТА конструює колодку і взуття також в трьохмірному вимірюванні. З останніх розробок потрібно виділити Digiton (Канада), Crispin (Австрія), Sixi (Франція).

Системи виконують наступні функції:

- введення даних про колодку;
- моделювання взуття в інтерактивному режимі;
- отримання розгортки і деталіровка верху;
- градирование деталей;
- розміщення деталей взуття на шкірі;
- виготовлення шаблонів деталей верху взуття.

Процес закінчується виготовленням лекал деталей взуття за допомогою лазерного автомата.

Система Arx

Розроблена фірмою Camsco (США).

Система передбачає наступні операції:

- знімання інформації про перетин колодки;
- запис в цифровій формі відповідних ліній моделі, нанесених на колодці;
- розрахунок і отримання на екрані графічного дисплея умовних розгорток зовнішніх і внутрішніх бічних поверхонь колодки;
- розмноження деталей (градирование);
- виготовлення креслень і підготовка документації;
- вирізування шаблонів для моделювання.

Крім того, система може виконувати перехідні операції від антропометричних даних до розмірів деталей взуття. Вона забезпечує проектування взуття на основі способу жорсткої оболонки. Система по певному коду викликає з пам'яті машини УРК потрібного фасону, а також типові деталі верху. Потім на екрані графічного дисплея будується система координат, відкладаються по завданню конструктора-програміста необхідні кути розведення крил, в які автоматично вписується УРК, будуються контури деталей верху і відкладаються величини затяжної кромки і інші параметри. Система забезпечує проектування окремих деталей верху з припуском на обробку, а також креслення внутрішніх і проміжних деталей, серійну градирование деталей.

1.2. Структура і характеристика модульної САПР "Ірис"

Програмний комплекс розроблений на кафедрі КТИК КНУТД в 1990-2005 рр. і за цей час впроваджений на багатьох взуттєвих підприємствах України різної форми власності[6-8].

По своєму характеру система є системою площинного проектування 2D.

Програмний комплекс складається з декількох програмних модулів, які об'єднуються під егідою головного меню:

- оцифровка контурів;
- проектування;
- градирование подетальное;
- градирование ґрунтів;
- вичерчивание картинок;
- розміщення шаблонів;
- каталог;
- інструкція користувача.

Структура комплексу

Структура побудови комплексу такого роду базується на двох основних принципах:

- спадкоємність і єдність з діючими структурами конструкторської підготовки взуттєвого виробництва;
- об'єднання як можна більшого числа задач в конструкторській підготовці виробництва.

Програмний комплекс призначений для проєтирования деталей верху і низу взуття різних конструкцій. Аналіз чого склався структури процесу виробництва і підготовки проекту передбачає наявність в системі наступних базових програмних модулів:

- введення початкової інформації;
- проектування моделі і її деталей;
- серійне градирование контура деталей;
- контроль укладиваємости контура деталей;
- формування паспорту моделі.

Функції автоматизованого проектування на програмному комплексі "ІРИС". Широке застосування методів автоматизованого проектування взуття і кожгалантерейних виробів передбачає використання послідовності цілеспрямованих функцій. Під функцією автоматизованого проектування в цьому випадку розуміємо специфічний вплив системи на об'єкт проектування, направлений на приведення його до вигляду, відповідного вимогам конкретного етапу розробки. У результаті реалізації необхідних функцій отримують комплект конструкторської документації, необхідний для запуску виробу у виробництво.

Основу автоматизованого проектування складають прийоми звичайних (креслярських) методів, що отримали свій природний розвиток.

Жодна з сучасних систем не може вважатися завершеною, якщо вона не в змозі виконати хоч би одна вимога повсякденної практики розробки конструкцій взуття. Якісно новий рівень процесу проектування повинен включати досить широкий спектр додаткових можливостей, що надаються модельєру-конструктору. Тому цілком закономірним є розділення функцій автоматизованого проектування на традиційні і специфічні (машинні).

Традиційні функції формуються з набору функцій, необхідних для підготовки графічних і текстових документів. Графічні поділяються на функції прямої і послідовної дії. Перші характеризуються досягненням результату безпосередньо після їх ініціалізації. Функції послідовної дії вимагають введення додаткових даних, вказуючих на інтенсивність і область поширення. У залежності від масштабу додатку функції прямої дії поділяються на параметричні, одиничні і структурних.

Використання параметричних функцій дозволяє визначати габарити об'єкта $\{G\}$ (деталі, декількох деталей або вузлів, ґрунд-моделі), довжину окремих контурів $\{x\}$, периметр $\{AX\}$, площа $\{z\}$, відстань $\{X\}$ між заданими точками, кут нахилу вибраних ліній $\{y\}$. Результати висвічуються на екрані або зберігаються в файлі. Одиничні функції прямої дії дають можливість перемістити будь-яку

точку в нове положення $\{ \}$, встановити першу точку $\{T\}$, видалити $\{U\}$, сдублировать $\{w\}$ або вставити $\{W\}$ нову точку на заданій відстані. Одночасно можна задати потрібний напрям $\{h\}$ точок по замкненому контуру.

Структурні функції виконують дії над вказаними об'єктами (замкненими або розімкненими контурами, окремими лініями, вставками і т. п.). Зсув $\{F6\}$ - переміщення об'єкта у вказаному напрямі відносно всього зображення.

Функції прямої дії ініціалізувалися однократним натисненням відповідної клавіші або переміщенням курсора в задану область екранного меню.

Функції послідовної дії передбачають багаторазове натиснення клавіш з вказівкою необхідних параметрів і поділяються на елементарні, об'єктні і функції формообрання. Елементарні функції впливають на окремі ділянки (елементи) контура. Згладжування $\{L\}$ дозволяє вирівнювати значення координатних пар методом найменших квадратів у вказаному інтервалі.

Функція інтерполяції $\{I\}$ дозволяє визначити бракуючі точки плавного контура за допомогою інтерполяційних многочленів (наприклад, сплайнов), зберігаючи при цьому координати вузлових (початкових) точок.

Функції припусків $\{e\}$ і $\{v\}$ призначені для проведення постійних (під строчку, загибку і т. п.) і змінних (затяжна кромка) припусков.

Об'єктні функції виконують перетворення з готовими фрагментами деталей. Функція з'єднання $\{s\}$ дозволяє з'єднати два різних контури в одну деталь з привласненням імені.

Площа при цьому визначається по зовнішньому контуру.

Функція вставки $\{F\}$ є однією з найбільш могутніх в програмному комплексі і дозволяє сформувати деталь з окремих ділянок декількох контурів.

Корисно застосовувати цю функцію при введенні початкової інформації на дигитайзері, оскільки вельми скрутно ввести в комп'ютер абсолютно однаково співпадаючі контури двох і більш деталей. Для підготовки складального креслення моделі взуття із зовнішніми і внутрішніми берцями і задинками

включають функцію {r}, що дозволяє розвертати деталь навколо заданої осі (лінії перегину).

Особливу групу складають функції формообрання, що дозволяють створювати окремі елементи моделі, наприклад, за допомогою малювання замкнених або розімкнених контурів {q}. Мітки для зборки або накол {i}, мітки для бло-чек {до}, для перфорації можуть виконуватися як окремі деталі {I}, {До}, {P} з привласненням імені. За допомогою функції геометричних фігур {F7} можна створювати кола, овали, багатокутники і лінії з різними геометричними параметрами (радіус, довжина, ширина) і під різними кутами.

Машинні функції дозволяють створити особливу оболонку і надають певний сервіс модельєру, який може підібрати зручний режим роботи. Функціями управління екраном масштабують зображення {F10}, зсувають його в зручну позицію, очищають екран {ESC}, викликають поточну підказку і меню {F1}. Сюди ж відноситься функція {M} вибору певної кількості деталей, що одночасно висвічуються на екрані (від однієї до всіх). Вона також міняє порядок виклику окремих деталей.

Функції управління друком дозволяють підібрати шрифт для виведення текстових, визначати розмір тексту і формувати його по правому або лівому полю, будувати рамки таблиць. Функції управління графопостроителем (плоттер) дають можливість підбору кольору (пера) або типу лінії, вибирати масштаб і месторасположение тексту.

Практичний досвід експлуатації програмного комплексу "ІРИС" показує, що найбільш ефективні результати досягаються при роботі в певній послідовності:

коректування початкових контурів моделі. Конттури повинні бути представлений:
 - плавними замкненими кривими. Точки розташовуються за годинниковою стрілкою, частота їх залежить від кривизни ділянки. Здвоєні, строєні і т. д. точки не рекомендуються, їх кількість повинна бути мінімальною;

- побудова відрізних деталей. Початкові контури розрізаються на частині по зазделегідь відмічених точках;
- побудова суцільних деталей. Зовнішню сторону деталей ґрунд-моделі рекомендується розташовувати знизу, внутрішню - зверху;
- побудова технологічних припусків міток. Після установки припусків за допомогою вказаних функцій бажане невелике коректування в кінцевих точках;
- побудова внутрішніх і проміжних деталей. Їх будують, виходячи з контурів зовнішніх деталей. Після побудови віддаляються зайві або здвоєні точки;
- остаточна доробка контура. Перевіряються всі розроблені контури. Проставляються мітки для блочек, перфорації і т. п. Ґрунд-модель розвертається у вісь градирування;
- виведення на плоттер і збереження файлів. Розроблена модель записується в файл і може бути виведена на плоттер або принтер.

Висновки до першого розділу

Економічність моделей взуття визначається щільністю укладок деталей взуття. Тому розробка математичного та програмного забезпечення для побудови щільних укладок плоских об'єктів, близьких до опуклих, є актуальною задачею при проєктуванні нових моделей взуття.

2. РОЗРОБКА МАТЕМАТИЧНОГО ЗАБЕЗПЕЧЕННЯ ДЛЯ ПРОЄКТУВАННЯ ДЕКОРАТИВНИХ ЕЛЕМЕНТІВ НА ДЕТАЛЯХ ВЗУТТЯ

2.1. Решітчасті укладки

Розглянемо на площині об'єкти S_1 та S_2 . Нехай $\text{int } S = S - S^{\wedge}$, де S^{\wedge} – границя об'єкта S . Об'єкти S_1 та S_2 не перетинаються, якщо

$$\text{int } S_1 \cap \text{int } S_2 = 0 \quad (2.1).$$

Якщо одночасно виконується умова

$$S_1 \cap S_2 \neq 0 \quad (2.2),$$

то об'єкти S_1 та S_2 називаються щільно розміщеними.

Щільно розміщені об'єкти не мають спільних внутрішніх точок, але обов'язково мають спільні граничні точки.

Система об'єктів $S_i, i=1..p$, утворюють на площині укладку, якщо для кожної пари об'єктів із цієї системи виконуються умови їх взаємного неперетину:

$$\text{int } S_n \cap \text{int } S_m = 0, n \neq m, n, m = 1..p \quad (2.3)$$

та для будь-якого об'єкта $S_i, i=1..p$ знайдеться хоч один об'єкт S_q , де $q \in [1..p], p \neq i$, який дотикається до об'єкта S_i .

Позначимо через $S + \mathbf{a}$ об'єкт, який можна отримати переміщенням кожної точки об'єкта S на вектор \mathbf{a} та назвемо його трансляцією об'єкта S .

Множину векторів виду [9-11]

$$\mathbf{r} = n\mathbf{a}_1 + m\mathbf{a}_2, \text{ де } n, m = 0, \pm 1, \pm 2, \pm 3, \dots \pm k \dots \quad (2.4),$$

де $\mathbf{a}_1(a_{1x}, a_{1y}), \mathbf{a}_2(a_{2x}, a_{2y})$ - лінійно-незалежні вектори, назвемо решіткою з базисом $\mathbf{a}_1, \mathbf{a}_2$ та позначимо через $\Lambda = \Lambda(\mathbf{a}_1, \mathbf{a}_2)$.

Абсолютна величина визначника, який складений із векторів решітки, називається визначником решітки Λ та позначається $\det \Lambda$, де [261]:

$$\det \Lambda = |[\mathbf{a}_1 \times \mathbf{a}_2]| = \begin{vmatrix} a_{1x} & a_{1y} \\ a_{2x} & a_{2y} \end{vmatrix} = \begin{vmatrix} a_{1x} & a_{1y} & -a_{2x} & -a_{2y} \\ a_{2x} & a_{2y} & a_{1x} & a_{1y} \end{vmatrix}. \quad (2.5)$$

Розглянемо систему об'єктів $\bigcup_{n,m} S^{nm}$, де $n,m=0, \pm 1, \pm 2, \pm 3, \dots \pm k \dots$, які складаються із трансляції $S^{nm}=S+na_1+ma_2$ об'єкта S на вектори решітки $\Lambda=\Lambda(a_1,a_2)$. Якщо ця система є укладкою, то така укладка називається укладкою об'єкта S , виконаної по решітці $\Lambda=\Lambda(a_1,a_2)$. Решітка $\Lambda=\Lambda(a_1,a_2)$ в цьому випадку є допустимою для укладки об'єкта S .

Щільність $\delta_s(\Lambda)$ решітчастої укладки можна характеризувати за допомогою співвідношення:

$$\delta_s(\Lambda)=|S|/\det\Lambda, \quad (2.6),$$

де $|S|$ - площа плоского геометричного об'єкта S , $\det\Lambda$ - визначник решітки $\Lambda=\Lambda(a_1,a_2)$, за якою виконана укладка. Із наведеного співвідношення видно, що щільність $\delta_s(\Lambda)$ решітчастої укладки тим вища чим менша площа паралелограма, сторонами якого є базові вектори решітки a_1 та a_2 .

Множину векторів виду:

$$r_1=na_1+ma_2 \text{ та } r_2=na_1+ma_2+g, \text{ де } n,m=0, \pm 1, \pm 2, \pm 3, \dots \pm k \dots,$$

де a_1, a_2 - лінійно-незалежні вектори, назвемо подвійною решіткою з базисом a_1, a_2 і вектором зсуву решітки g та позначимо через $W=W(a_1,a_2,g)$. Абсолютна величина визначника, який складений із базових векторів подвійної решітки, називається визначником решітки та позначається $\det W$.

Розглянемо систему об'єктів $\bigcup_{n,m} S_1^{nm}$ та $\bigcup_{n,m} S_2^{nm}$, де $n,m=0, \pm 1, \pm 2, \pm 3, \dots \pm k \dots$, які складаються із трансляції $S_1^{nm}=S_1+na_1+ma_2$ та $S_2^{nm}=S_2+na_1+ma_2+g$ об'єктів S_1 та S_2 на вектори подвійної решітки $W=W(a_1,a_2, g)$ [118]. Якщо ця система є укладкою, то така укладка називається укладкою об'єктів S_1 та S_2 , виконаної по подвійній решітці $W=W(a_1, a_2, g)$. Подвійна решітка $W=W(a_1, a_2, g)$ в цьому випадку є допустимою для укладки об'єктів S_1 та S_2 . Фрагмент подвійної решітчастої укладки представлений на рис. 3.2. В цьому випадку під об'єктом S_1 мають на увазі деталь $S(0)$ у вихідному положенні, а під об'єктом S_2 мають на

увазі деталь $S(\pi)$, повернуту на 180° відносно вихідного положення. Подвійна решітка представляє собою дві однакові одинарні решітки $\Lambda_1 = \Lambda(\mathbf{a}_1, \mathbf{a}_2)$ та $\Lambda_2 = \Lambda(\mathbf{a}_1 + \mathbf{g}, \mathbf{a}_2 + \mathbf{g})$, які зміщені одна відносно іншої на вектор зсуву решітки \mathbf{g} . У вузлах решітки Λ_1 розміщуються об'єкти S_1 , а у вузлах решітки Λ_2 розміщуються об'єкти S_2 .

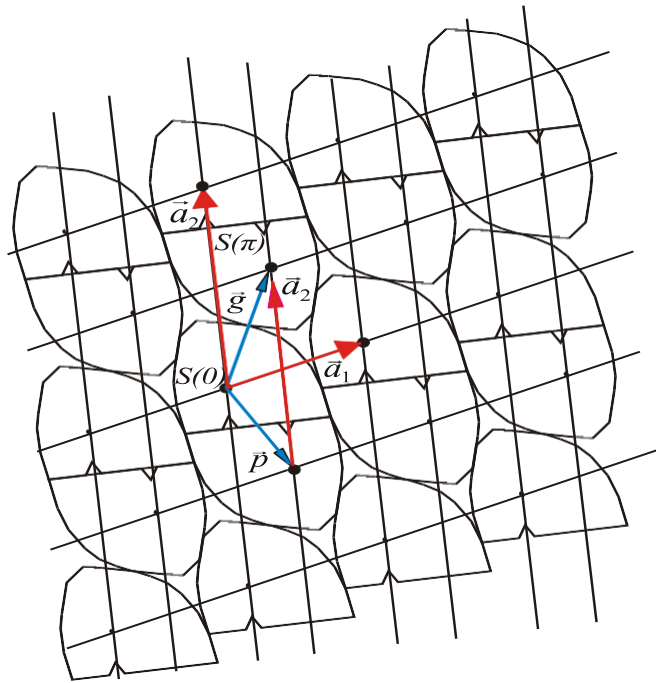


Рис. 2.1. Фрагмент подвійної решітчастої укладки

Абсолютна величина визначника, який складений із векторів решітки, називається визначником решітки \mathbf{W} та позначається $\det \mathbf{W}$, де:

$$\det \mathbf{W} = |[\mathbf{a}_1 \times \mathbf{a}_2]| = \begin{vmatrix} a_{1x} & a_{1y} \\ a_{2x} & a_{2y} \end{vmatrix} = \begin{vmatrix} a & a & -a & a \\ & 1x & 2y & 2x & 1y \end{vmatrix}. \quad (2.7)$$

Щільність $\delta_s(\mathbf{W})$ решітчастої укладки можна характеризувати за допомогою співвідношення:

$$\delta_s(\mathbf{W}) = (|S_1| + |S_2|) / \det \mathbf{W}, \quad (2.8)$$

де $|S_1|$ та $|S_2|$ - відповідно площі плоского геометричного об'єкта S_1 та S_2 , $\det \mathbf{W}$ - визначник решітки $\mathbf{W} = \mathbf{W}(\mathbf{a}_1, \mathbf{a}_2, \mathbf{g})$, за якою виконана укладка. Із наведеного

співвідношення видно, що щільність $\delta_s(W)$ решітчастої укладки тим вища, чим менша площа паралелограма, сторонами якого є базові вектори решітки a_1 та a_2 .

На основі технологічної постановки задач проектування щільних укладок в паралелограмі сформулюємо математичні постановки цих задач.

Математична постановка задачі „Укладка А”. Серед множини допустимих решіток $\Lambda^i = \Lambda(a^i_1, a^i_2)$, де $i=1, 2..q$, для побудови щільних укладок для однакових та однаково орієнтованих плоских геометричних об’єктів S знайти таку решітку $\Lambda^* = \Lambda(a^*_1, a^*_2)$, для якої $\delta_s(\Lambda^*) = |S| / \det \Lambda^* = \max(\delta_s(\Lambda^i))$, де $|S|$ - площа плоского геометричного об’єкту S . Так як площа плоского геометричного об’єкту S є постійною величиною, то серед допустимих решіток $\Lambda^i = \Lambda(a^i_1, a^i_2)$ необхідно знайти таку, для якої $\det \Lambda^* = \min(\det \Lambda^i)$ [12-13].

Математична постановка задачі „Укладка Б”. Серед множини допустимих подвійних решіток $W^i = W(a^i_1, a^i_2, g^i)$, де $i=1, 2..q$, для побудови щільних укладок для однакових плоских геометричних об’єктів S з поворотом в рядах на 0° та 180° , знайти таку решітку $W^* = W(a^*_1, a^*_2, g^*)$, для якої $\delta_s(W^*) = |S| / \det W^* = \max(\delta_s(W^i))$, або $\det W^* = \min(\det W^i)$ [14-15].

2.2. Аналітичний опис зовнішнього контуру деталі та її положення на площині

Для однозначного відображення положення деталі S в укладці та генерування множини допустимих щільних укладок необхідно аналітично описати зовнішній контур деталі та визначити параметри, які б однозначно відображали положення деталі на площині [14-16]. Вже відмічалось в попередніх розділах, що контури деталей взуття мають складну форму зовнішнього контуру та описати їх аналітично у вигляді математичної функції $F(x,y)=0$ у більшості випадків неможливо. Тому ми будемо апроксимувати деталі S у вигляді багатокутників S_m із заданої точністю ε . Для однозначного визначення

зовнішнього контуру многокутника S_m достатньо знати координати вершин $A_i(Xm_i, Ym_i)$, де $i=1, 2, \dots, n$ та $Xm_1 = Xm_n, Ym_1 = Ym_n$ (рис. 2.2).

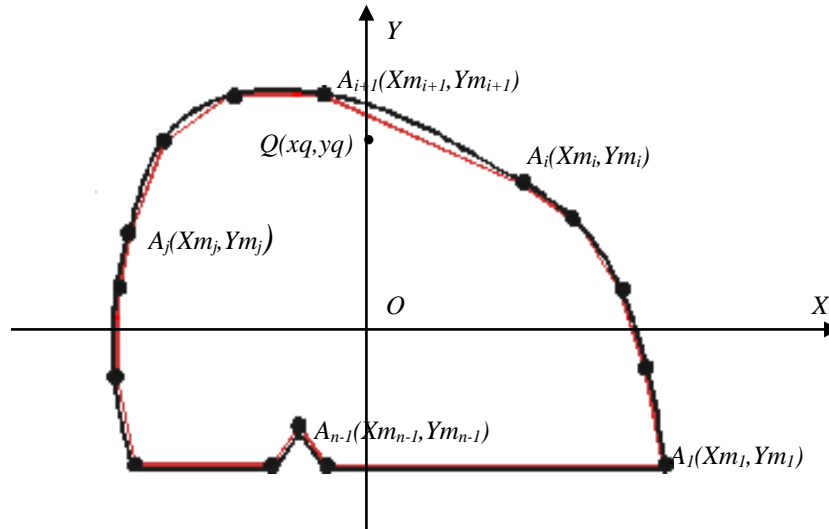


Рис. 2.2. Апроксимація зовнішнього контуру деталі

Тоді координати будь-якої точки $Q(xq, yq)$ на стороні $A_i A_{i+1}$ зовнішнього контуру апроксимуючого многокутника можна представити наступним чином:

$$\begin{cases} xq = (Xm_{i+1} - Xm_i)t_i + Xm_i \\ yq = (Ym_{i+1} - Ym_i)t_i + Ym_i \end{cases}, \text{ де } i=1, 2, \dots, n-1 \text{ та } t_i \in [0, 1]. \quad (2.9)$$

Тобто за допомогою виразу (2.9) можна однозначно аналітично описати зовнішній контур деталі із заданою точністю ϵ .

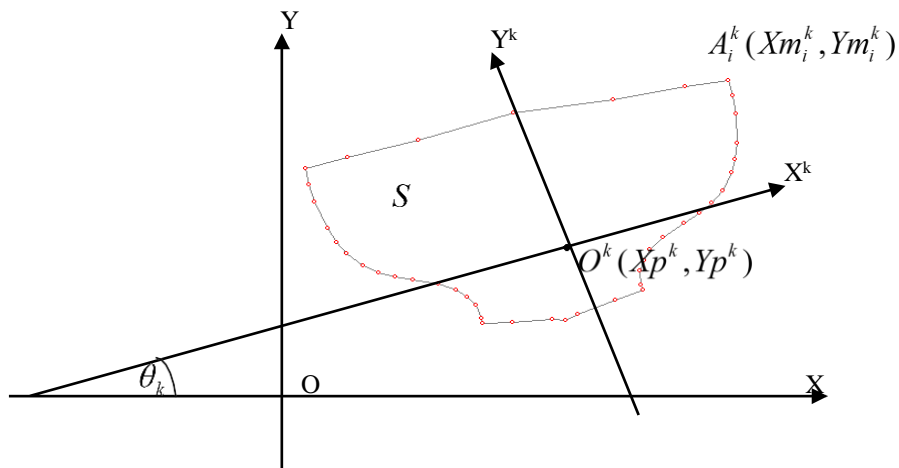


Рис. 2.3. Параметри, що однозначно визначають положення деталі S на площині

Для однозначного відображення положення деталі S на площині необхідно знати координати полюсу деталі (Xp^k, Yp^k) в системі координат XOY , що пов'язана із площиною, та кут повороту деталі відносно вихідного положення деталі θ_k (рис. 2.3).

Тоді координати будь-якої вершини $A_i^k (i=1, 2, \dots, n)$ апроксимуючого багатокутника для деталі S в системі координат XOY , що пов'язана із площиною, визначатимуться наступним чином [17-18]:

$$\begin{cases} X_m^k = X_m \cos \theta - Y_m \sin \theta + Xp^k \\ Y_m^k = X_m \sin \theta + Y_m \cos \theta + Yp^k \end{cases} \quad (2.10)$$

А координати будь-якої точки $Q^k(xq^k, yq^k)$ на стороні $A_i A_{i+1}$ зовнішнього контуру апроксимуючого багатокутника в системі координат XOY , що пов'язана із площиною, можна представити наступним чином:

$$\begin{cases} xq^k = (X_m^{i+1} - X_m^i) t_i + X_m^i \\ yq^k = (Y_m^{i+1} - Y_m^i) t_i + Y_m^i \end{cases}, \quad \text{де } i=1, 2, \dots, n-1 \text{ та } t_i \in [0, 1]. \quad (2.11)$$

Тобто за допомогою виразів (2.10-2.11) можна однозначно аналітично описати зовнішній контур деталі із заданою точністю ε у щільній укладці на площині.

2.3. Аналітичний опис умов взаємного неперетину деталей в укладці

Нехай S_1 та S_2 - два об'єкти, які зберігають постійну взаємну орієнтацію. Позначимо через O_1 та O_2 полюси об'єктів, які вибрані в довільних точках даних об'єктів. Тоді $X_1 O_1 Y_1$ та $X_2 O_2 Y_2$ - системи координат, які жорстко зв'язані з об'єктами S_1 та S_2 відповідно. Без обмеження відповідні координатні осі можна вважати направленими однаково. Припустимо, що об'єкт S_1 нерухомо закріплений на площині, а об'єкт S_2 - рухомий. Розглянемо множину можливих щільних положень об'єкта S_2 по відношенню до об'єкта S_1 . Кожне таке положення характеризується вектором $r_{12} = O_1 O_2$. Вектор-функція, що ставить у відповідність щільному положенню об'єктів S_1 та S_2

значення вектора r_{12} при умові, що об'єкт S_1 нерухомий, називається годографом вектор-функції Γ_{12} щільного розміщення (рис. 2.4) об'єкту S_2 відносно об'єкта S_1 .

Нехай θ – кут, який утворює вектор r_{12} з віссю O_1X_1 . Тоді вектор-функція щільного розміщення об'єкта S_2 відносно об'єкта S_1 може бути задана у вигляді $r = r_{12}(\theta)$, де $0 \leq \theta \leq 2\pi$ [19] (див. рис. 2.4).

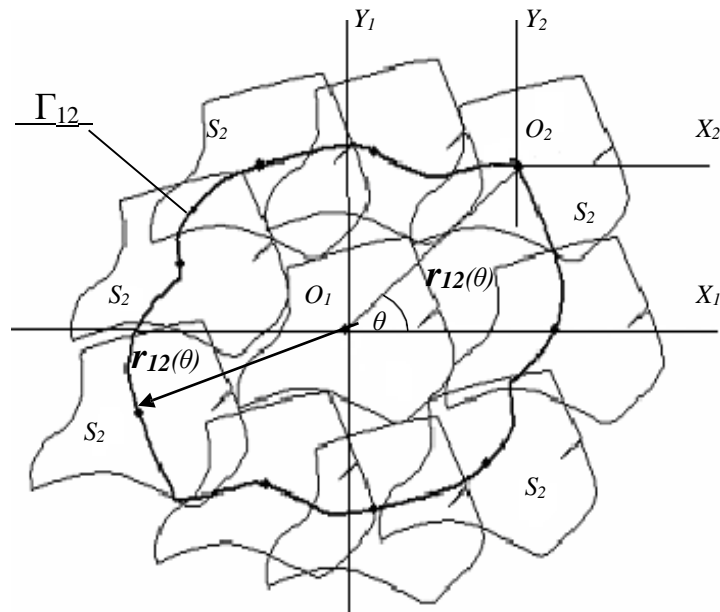


Рис. 2.4. Годограф вектор-функції щільного розміщення

Позначимо через Φ_{12} область, яка обмежена годографом Γ_{12} . Відмітимо найбільш важливі властивості годографа Γ_{12} вектор-функції щільного розміщення та області Φ_{12} , яка обмежена ним (рис. 2.5.):

- якщо полюс O_2 об'єкта S_2 розміщений всередині області Φ_{12} , то об'єкти S_1 та S_2 мають спільні внутрішні точки (перетинаються);
- якщо полюс O_2 об'єкта S_2 розміщений зовні області Φ_{12} , об'єкти S_1 та S_2 не мають спільних внутрішніх точок (не перетинаються);
- якщо полюс O_2 об'єкта S_2 розміщений на границі області Φ_{12} , то об'єкти S_1 та S_2 мають спільні граничні точки (щільно розміщені).

Годограф Γ_{12} двох однакових і однаково орієнтованих фігур має центральну симетрію. Крім того, годограф вектор-функції щільного розміщення

(ГВФЦР) об'єкту S_2 відносно об'єкта S_1 представляє собою замкнуту лінію та ГВФЦР для многокутників є також многокутник з числом вершин не більше ніж сума кількості вершин многокутників, для яких був побудований ГВФЦР.

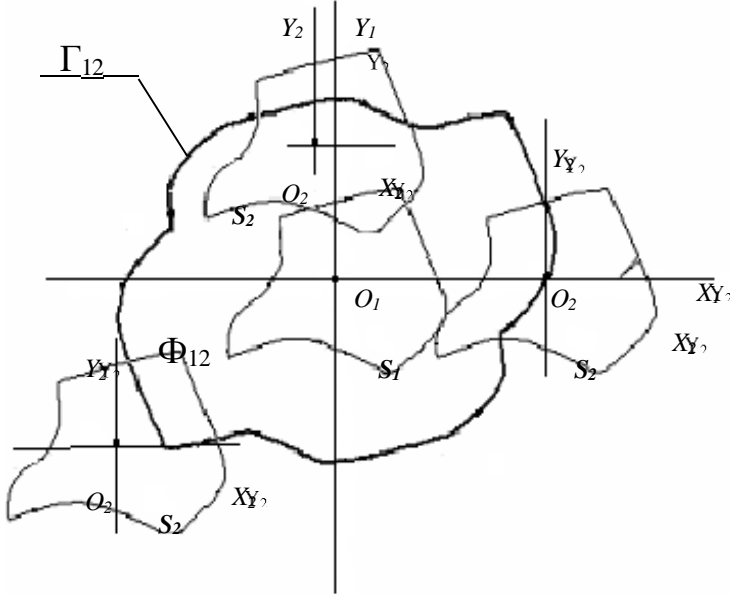


Рис. 2.5. Основні властивості годографа вектор-функції Γ_{12} щільного розміщення об'єкту S_2 відносно об'єкта S_1

Так як деталі взуття S_1 та S_2 ми апроксимуємо многокутниками S_{m1} та S_{m2} , то ГВФЦР для деталей взуття буде многокутник G з координатами вершин $G_i(Xg_i, Yg_i), i=1,2..n_g$. Тоді координати будь-якої точки на ГВФЦР можна представити наступним чином:

$$\begin{cases} xg = (Xg_{i+1} - Xg_i)\tau_i - Xg_i \\ yg = (Yg_{i+1} - Yg_i)\tau_i - Yg_i \end{cases}, \text{ де } i=1,2..n_g \text{ та } \tau_i \in [0,1] \quad (2.12)$$

Тобто, використовуючи апарат ГВФЦР ми маємо можливість контролювати взаємне розміщення деталей в укладці. Якщо полюси деталей будуть знаходитися на ГВФЦР, то деталі будуть дотикатись. Крім того апарат ГВФЦР дозволив за допомогою виразів (2.12) аналітично представити умови взаємного неперетину деталей, що розміщуються.

При побудові годографа в.-ф.щ.р. многокутника фактично реалізується процедура руху одного многокутника навколо іншого за умови, що в кожному моменті руху контури, які їх обмежують, дотикаються.

Можливі три випадки[20] :

- вершина многокутника S_2 рухається по стороні многокутника S_1 ;
- сторона многокутника S_2 рухається по вершині многокутника S_1 ;
- сторона многокутника S_2 рухається по стороні многокутника S_1 .

Оскільки всі внутрішні точки фігури при прямолінійно-поступальному русі без повороту рухаються однаково, то, прослідкувавши за траєкторією руху полюса, можемо описати рух всієї фігури. Фрагменти руху – це є рух полюса фігури по відрізках прямих. З цього випливає, що траєкторія руху полюса складається з відрізків, які послідовно з'єднані між собою. Початкова і кінцева точки траєкторії руху співпадають. Отже траєкторія руху фігури, що є многокутником навколо іншого многокутника є замкненою ламаною лінією, тобто годограф Γ_{12} є замкнена ламана лінія.

Оскільки в кожному моменті руху рухома і нерухома фігури дотикаються, то годограф Γ_{12} несе в собі інформацію про взаємне розташування фігур, при якому досягається їх щільне розміщення.

Розглянемо схему обчислення координат вершин годографа двох опуклих многокутників.

Зафіксуємо на площині фігуру S_1 . Розташуємо фігуру S_2 так, щоб вона дотикалася до S_1 . З кожною з цих фігур зв'яжемо їх власні системи координат: $X_1O_1Y_1$ з S_1 та $X_2O_2Y_2$ з S_2 . Інформацію про кожну з фігур задамо у вигляді послідовності координат вершин у власних системах координат. Позначимо послідовність вершин фігури S_1 як $A'_i(x'_i, y'_i)$, $i = \overline{1, n}$, а фігури S_2 - $A'_j(x'_j, y'_j)$, $j = \overline{1, n}$.

В будь-який момент руху фігури S_2 , відповідні координатні осі координатних систем $X_1O_1Y_1$ та $X_2O_2Y_2$ мають однаковий напрямок. Будемо вважати, що координатна система $X_1O_1Y_1$, яка зв'язана з S_1 , співпадає з координатною системою XOY на площині і в ній обчислимо координати вершин годографа.

Початком траєкторії руху будемо вважати взаємне розташування фігур, при якому деяка вершина $A'_i(x'_i, y'_i)$ фігури S_1 суміщена з деякою вершиною $A'_j(x'_j, y'_j)$ фігури S_2 і фігури не перетинаються. Такому розміщенню фігур відповідає вершина $G_k(x_k, y_k)$ годографа Γ_{12} :

$$G_k(x_k, y_k): \quad \begin{cases} |x_k = x'_i - x'_j \\ y = y'_i - y'_j \end{cases} \quad (2.13)$$

$$\left| \begin{array}{ccc} k & i & j \end{array} \right.$$

Для того, щоб обчислити координати наступної вершини годографа необхідно визначити напрямок переміщення фігури S_2 відносно фігури S_1 .

Щоб зберегти щільне розміщення фігур на наступному етапі повинна реалізуватися одна з двох можливостей:

- або вершина A'_j фігури S_2 буде рухатися по прилеглий стороні $A'_i A'_{i+1}$ нерухомої фігури S_1 ;
- або прилегла сторона $A'_j A'_{j+1}$ фігури S_2 повинна рухатися по вершині A'_i нерухомої фігури S_1 .

Основним при виборі напрямку руху є забезпечення умови, щоб в процесі руху внутрішня частина фігури S_2 не накладалася на внутрішню частину нерухомої фігури S_1 , тобто щоб фігури не перетиналися.

При обраній орієнтації контурів фігур внутрішня частина кожної з фігур прилягає до її контура з лівого боку. Необхідно обрати такий напрямок руху, при якому рухома фігура буде знаходитися з іншого боку від контура нерухомої

фігури на ділянці дотику фігур. Коли вершина $A'_i(x'_i, y'_i)$ фігури S_1 суміщена з вершиною $A'_j(x'_j, y'_j)$ фігури S_2 , то подальший рух фігури S_2 буде відбуватися:

- або вздовж прямої на якій лежить сторона $A'_i A'_{i+1}$ фігури S_1 ;
- або вздовж прямої, на якій лежить сторона $A'_j A'_{j+1}$ фігури S_2 .

Щоб при цьому фігури S_1 і S_2 не перетиналися, слід обрати ту з прямих, для якої всі вершини фігури S_1 знаходяться з лівого боку від прямої, а всі вершини фігури S_2 - з правого боку від неї.

Введемо спеціальну функцію Z_{ij}

$$Z_{ij} = \begin{vmatrix} x'_{i+1} - x'_i & y'_{i+1} - y'_i \\ x'_{j+1} - x'_j & y'_{j+1} - y'_j \end{vmatrix}, \quad (2.14)$$

за знаком якої можна встановити напрямок руху фігури S_2 . Обчисливши її значення при відповідних i і j , що відповідають індексам суміщених вершин, отримаємо один з випадків:

- якщо $Z_{ij} > 0$, то напрямок руху фігури S_2 вказує вектор $\overrightarrow{A'_j A'_{j+1}}$;
- якщо $Z_{ij} < 0$, то напрямок руху фігури S_2 , вказує вектор $\overrightarrow{A'_i A'_{i+1}}$;
- якщо $Z_{ij} = 0$, то маємо випадок, коли вектори $\overrightarrow{A'_j A'_{j+1}}$ і $\overrightarrow{A'_i A'_{i+1}}$ колінеарні і напрямок руху фігури S_2 визначається вектором $\overrightarrow{A'_i A'_{i+1}}$.

На кожному кроці координати вершин годографа обчислюються за формулами (67).

В загальному випадку не має значення, які дві вершини ми сумістимо на першому етапі обчислень. Тому за початкове оберемо таке розташування фігур S_1 і S_2 , при якому вершина фігури S_1 з максимальною абсцисою співпадає з вершиною фігури S_2 з мінімальною абсцисою.

Обчислення закінчуються, коли годограф Γ_{12} “замкнеться”, тобто координати чергової знайденої вершини годографа співпадуть з координатами його першої вершини. В результаті обчислень отримуємо масив $G_k(x_k; y_k)$ $k = \overline{1, m}$ координат послідовних вершин годографа Γ_{12} фігур S_1 і S_2 .

Записавши в параметричному вигляді рівняння відрізків, що є ребрами годографа, отримаємо аналітичне описання годографа Γ_{12} у вигляді системи співвідношень:

$$\begin{cases} x(\tau_i) = x + (x_{i+1} - x_i)\tau_i \\ y(\tau_i) = y + (y_{i+1} - y_i)\tau_i \end{cases} \quad i = \overline{1, m} \quad (2.15)$$

де $(x_i; y_i)$ координати вершин годографа Γ_{12} , τ_i - параметр, $\tau_i \in [0; 1)$.

2.4. Алгоритм побудови опуклої оболонки для многокутника

Постановка задачі. . Нехай маємо многокутника P з координатами вершин (Xp_i, Yp_i) , $i=0, 1, 2..n-1$. Знайти опуклу оболонку R із координатами вершин (Xob_j, Yob_j) , $j=0, 1, 2..p-1$ для многокутника P .

Алгоритм побудови опуклої оболонки буде базуватись на властивості векторного добутку двох векторів. $a=(x_a, y_a)$ та $b=(x_b, y_b)$, а саме: модуль векторного добутку буде додатнім, якщо найкоротший шлях від вектора a до вектора b буде проти годинникової стрілки.

На рис. 2.5 представлені етапи побудови опуклої оболонки для многокутника та опорної функції. Спочатку вибираємо за початкову вершину. в якій координата X досягає максимуму. Це буде точка P_0 (рис.2.5.а). Потім будуємо вектор $a=P_0P_1$ $b=P_0P_2$. Якщо модуль векторного добутку двох векторів. a та b буде менше або дорівнювати нуля при обході контуру проти годинникової стрілки, то вершина P_1 не знаходиться на опуклій оболонці і буде виключена із розгляду (рис. 2.5.б). Аналогічно продовжуємо розгляд контуру многокутника та вилучення з розгляду тих вершин многокутника, які не лежать на опуклій

оболонці (рис. 2.5.в) поки не залишиться жодної точки на новому контурі, яка не належить опуклій оболонці (рис. 2.5.в-г). Побудована опукла оболонка та опорна функція для опуклої оболонки представлені на рис.2.5.г[21-23].

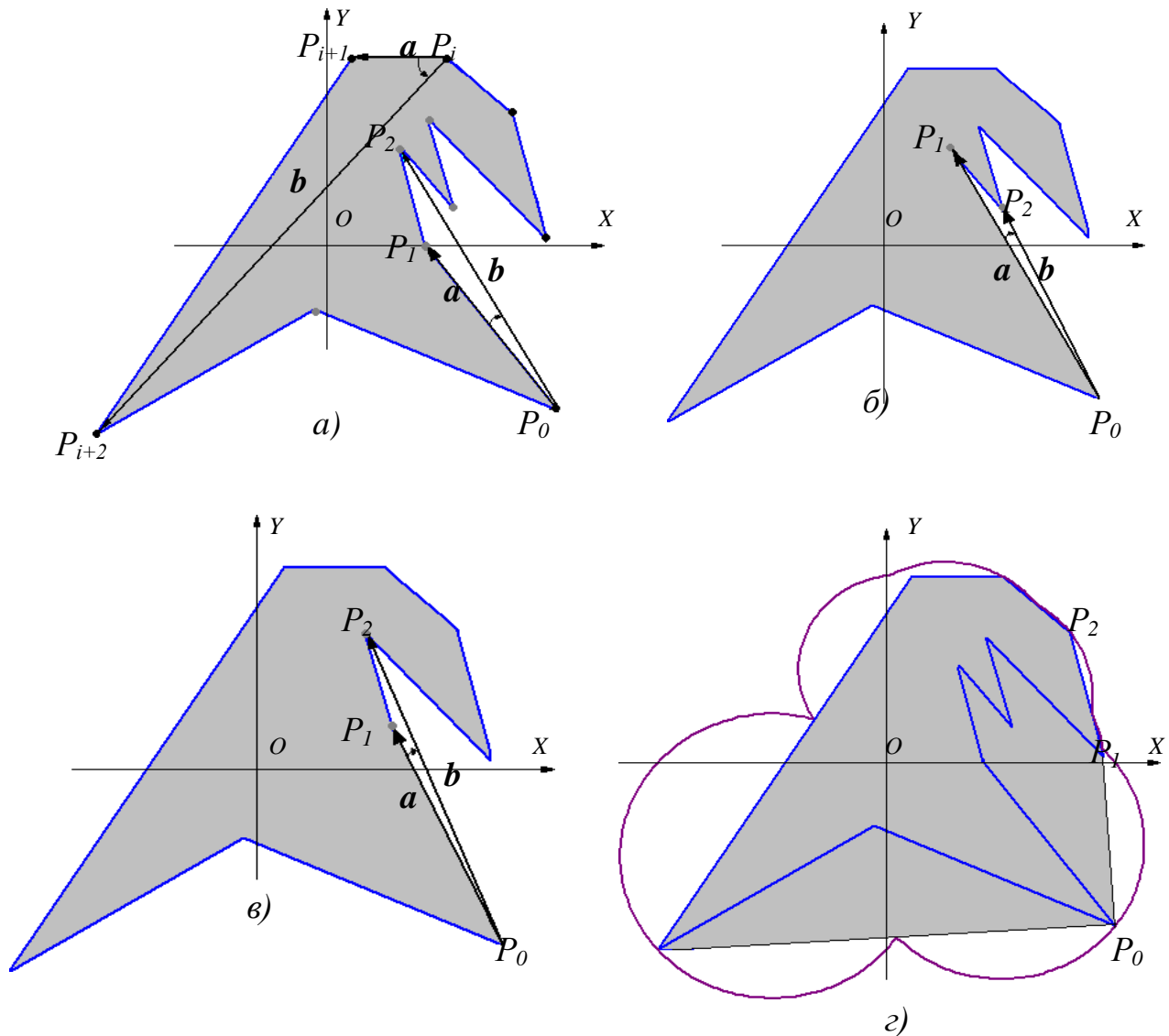


Рис.6.21. Етапи побудови опуклої оболонки та опорних функції

Алгоритм побудови опуклої оболонки R для многокутника P матиме наступні пункти:

1. Визначення на многокутнику такої вершини, що вона завжди входить до вершин на зовнішньому контурі опуклої оболонки. За таку вершину візьмемо

будь-яку з вершин многокутника, в якій координата X або Y досягає екстремуму (максимуму або мінімуму). Нехай за таку вершину приймемо k -ту вершину многокутника, для якої $Xp_k = \max_{i=0,1..n-1} (Xp_i)$;

2. В многокутнику P циклічно переставимо вершини таким чином, що першою вершиною стане k -та вершина многокутника, для якої $Xp_k = \max_{i=0,1..n-1} (Xp_i)$;

3. Визначаємо напрям обходу многокутника (порядок, у якому записані координати вершин многокутника при обході многокутника, за годинниковою стрілкою чи проти годинникової стрілки). Для цього знаходимо порядкові номери вершин $k1, k2, k3$, для яких виконуються наступні вирази

$$Yp_{k1} = \max_{i=0,1..n-1} (Yp_i); \quad Xp_{k2} = \min_{i=0,1..n-1} (Xp_i); \quad Yp_{k3} = \min_{i=0,1..n-1} (Yp_i).$$

Якщо виконується наступна нерівність $k1 \leq k2 \leq k3$, то напрям обходу контуру многокутника проти годинникової стрілки, інакше напрям обходу контуру многокутника за годинниковою стрілкою.

5. Якщо напрям обходу контуру многокутника проти годинникової стрілки, то $Flag1=True$, інакше - $Flag1=False$.

6. Присвоюємо $i=0, j=0, t=1, m=2, Flag2=True, Xob_0=Xp_0, Yob_0=Yp_0$;

7. Визначимо $\Delta = (Yp_{i+m} - Yp_i)(Xp_{i+t} - Xp_i) - (Xp_{i+m} - Xp_i)(Yp_{i+t} - Yp_i)$.

Якщо $\Delta < 0$ та $Flag1=True$ або $\Delta > 0$ та $Flag1=False$,

то виконуємо наступні дії

Початок $Flag1=False; q=i+m; m=m+1; l=l+1$ **Кінець**

інакше виконуємо наступні дії

Початок $j=j+1; q=i+m+1; m=m+1; Xob_j=Xp_{i+1}, Yob_j=Yp_{i+1};$

$i=i+1; m=2; l=1$ **Кінець**

8. Якщо $q < n-1$, то повертаємося до пункту 7;

9. Присвоюємо $Xob_{j+1}=Xp_0, Yob_{j+1}=Yp_0, p=j+2$;

10. Якщо $Flag2=False$, то

Початок для $j=0$ до $p-1$ роби

Початок $X_{p_j} = X_{ob_j}$, $X_{p_j} = X_{ob_j}$ **Кінець**

$m=p$; Повертаємося до пункту б , **Кінець**
інакше **Кінець**.

Висновки до другого розділу

Запропонована математична модель задачі побудови щільних укладок плоских об'єктів, близьких до опуклих, виділені її структурні компоненти та представлений аналітичний опис цих компонентів. Це дозволило розробити алгоритми вирішення задачі побудови щільних укладок плоских об'єктів, близьких до опуклих.

3. РОЗРОБКА ПРОГРАМНОГО ЗАБЕЗПЕЧЕННЯ ДЛЯ ПРОЄКТУВАННЯ ДЕКОРАТИВНИХ ЕЛЕМЕНТІВ НА ДЕТАЛЯХ ВЗУТТЯ

3.1. Вимоги до програмного продукту

Програмний продукт повинен забезпечувати:

- надійну роботу як в локальному, так і в мережевому варіантах;
- високу точність. Будь-які обмеження на кількість внутрішніх контурів і число точок лекальних кривих в конструюванні ведуть, в кінцевому підсумку, до втрати точності при відтворенні складних деталей;
- гнучкість роботи. Як мінімум, повинні бути можливість скасування операцій на будь-яку кількість кроків, можливості введення та редагування будь-якої кількості додаткових точок і інших елементів креслення на будь-якому етапі конструювання. Дуже корисний механізм автоматичних прив'язок до характерних точок лекальних кривих;
- швидкість. Швидка змінюваність моделей, розширення асортиментної бази неможливі без потужного графічного редактора та конструкторського модуля (не плутати з «креслярськими засобами для конструювання»). Сучасний конструкторський модуль повинен забезпечувати виготовлення комплекту лекал для найскладнішої моделі протягом 2-3 годин;
- багато документальний інтерфейс. Сучасні системи дозволяють відкривати відразу кілька моделей при роботі. Вільно і наочно виділяти і переносити з моделі в модель будь-які елементи креслення - будь то лекала або окремі модельні лінії. Без обмеження комбінувати нові моделі на основі наявних;
- роботу з будь-яким серійним обладнанням. Вільний обмін даними з іншими програмами. Крім усього іншого, це полегшить створення єдиної мережі підприємства;
- вивід на друк в будь-якому масштабі на будь-якому етапі роботи.

3.2. Програмні засоби

Для реалізації даного програмного продукту необхідні наступні програмні засоби: Delphi 7.0.

Цей вибір обґрунтовано тим, що використання даних інструментальних засобів дозволяє створити інформаційну систему для обробки і аналізу необхідного взаємопов'язаного набору даних[23].

Як операційна система була обрана ітерактивна оболонка Microsoft Windows – 2010, що дозволяє підтримувати режим багатозадачності, а також на відзнаку від відомих операційних систем Unix, OS/2 та ін. Windows забезпечує високу якість зображення. Вона володіє розширеними можливостями при паралельній роботі декількох програм, спрощеною передачею результатів від програми до програми, підвищеною ємністю системи, дозволяє водночас виконувати велике число прикладних програм і системних компонентів, ефективними засобами управління оперативною пам'яттю і іншими можливостями, що відрізняють її від вищезгаданих операційних систем.

Delphi 7.0 – це програмний інструмент для створення прикладних програм, які працюють в середовищі операційної системи Microsoft Windows – 2010. Пакет включає не тільки мову програмування, а й ефективне діалогове середовище для розробки форм та вікон, що дозволяє програмісту створити програмний продукт достатньо високої якості за порівняно невеликий проміжок часу. Delphi 7.0 дає можливість використовувати ресурси інших прикладних програм Windows та взаємодіяти з зовнішньою базою даних[24].

3.3. Опис основних процедур розробленого програмного продукту, які забезпечують побудову щільних укладок для плоских об'єктів, близьких до опуклих

Процедура *TForm1.Open1Click* забезпечує введення інформації про зовнішні контури деталей моделі взуття для нанесення декоративних елементів на них[25-26].

```
procedure TForm1.Open1Click(Sender: TObject);
```

```
procedure vvod;
var f:system.text;
filename:string;
xi,yi,xo,yo,xmax,ymax,xmin,ymin:int64;
i,j:word;
nxi:integer;
xrab,yrab:real;
A:string;
begin
if opendialog1.execute then
begin
filename:=opendialog1.filename;
system.Assign(f,filename);
reset(f);
readln(f,model);
caption:='îîääëü'+model;
readln(f,a);
readln(f,koldet);
for i:=1 to koldet do
readln(f,namedet[i]);
```

```

for i:=1 to koldet do
  begin
    readln(f,kolpointdet[i]);
    nn[i]:=kolpointdet[i];
  end;
for i:=1 to koldet do
  begin
    for j:=0 to nn[i]-1 do
      begin
        readln(f,xrab,yrab);
        if kolpointdet[i]<>nn[i] then continue;
        if (xrab=999)and (yrab=999) then
          begin
            kolpointdet[i]:=j;
            continue
          end;
        xm[i,j]:=round(xrab*100);
        ym[i,j]:=round(yrab*100);

        end;
        nn[i]:=kolpointdet[i];
      end;
    for i:=1 to koldet do begin

      maxmin(nxi,kolpointdet[i],xm[i],xi,-1);
      maxmin(nxi,kolpointdet[i],ym[i],yi,-1);
      maxmin(nxi,kolpointdet[i],xm[i],xe,1);
      maxmin(nxi,kolpointdet[i],ym[i],ye,1);

```

```

dl_det[i]:=xe-xi;
sh_det[i]:=ye-yi;
if i=1 then begin
dl_dt:=dl_det[i];
sh_dt:=sh_det[i];
end
else
begin
if dl_dt<dl_det[i] then dl_dt:=dl_det[i];
if sh_dt<sh_det[i] then sh_dt:=sh_det[i];
end;

if i=1 then
begin
xmax:=xe;
ymax:=ye;
xmin:=xi;
ymin:=yi;
xcdet[1]:=round((xe+xi)/2);
ycdet[1]:=round((ye+yi)/2);

end
else
begin
xcdet[I]:=round((xe+xi)/2);
ycdet[I]:=round((ye+yi)/2);
// DlDet[i]:=Xe-Xi;
// ShDet[i]:=Ye-Ye;

```

```

    if xmax < xe then xmax := xe;
    if ymax < ye then ymax := ye;
    if xmin > xi then xmin := xi;
    if ymin > yi then ymin := yi;
  end
  end; end;
  xc := round((xmax + xmin) / 2);
  yc := round((ymax + ymin) / 2);
  dl := xmax - xmin;
  sh := ymax - ymin;
  for i := 1 to koldet do
  begin
    for j := 0 to kolpointdet[i] - 1 do
    begin
      xm[i, j] := xm[i, j] - xcdet[i];
      ym[i, j] := ym[i, j] - ycdet[i];
    end;
  {   xcdet[i] := xcdet[i] + xc;
      ycdet[i] := ycdet[i] + yc; }
      SCALE(xmax, xmin, ymax, ymin, image1.Width, image1.height, mxy);

      Obxod(KolPointDet[i], xm[i], ym[i]);
    end ;
    system.Close(f);
  end;

begin
  TabSheet1.Visible := True;

```



```

TabSheet2.Visible:=True;
TabSheet3.Visible:=True;
TabSheet4.Visible:=True;
TabSheet1.TabVisible:=True;
TabSheet2.TabVisible:=True;
TabSheet3.TabVisible:=True;
TabSheet4.TabVisible:=True;
vvod;
ScrollBar1.Visible:=true;
  With form1.Image2.Canvas do
begin
  pen.Color:=clred;
  form1.Image2.Height:=koldet*55+10;
  scale_image2(mmxy);
  for i:=1 to koldet do begin
  XcYc(kolpointdet[i],xm[i],ym[i],xc,yc);

  Rectangle(5,5+55*(i-1),55,50+55*(i-1)) ;
  Graph_im2(i,mmxy,kolpointdet[i], xm[i],ym[i], 27,round(27+55*(i-1)),xc,yc);
  end;
  end;

  end;

  procedure scale_im2(var mx:real);
  var my:real ;
  begin
  mx:=form1.Image2.Width/dl_dt ;

```

```

my:=form1.Image2.Height/sh_dt ;
if mx>my then mx:=my;

end;

```

Процедура *Graph_im1* забезпечує вивід зображення багатокутника на область *Image1*[27-28].

Параметри процедури:

- *col*-номер кольору:

```

1: pen.Color:=ClRed;
2: pen.Color:=ClBlack;
3: pen.Color:=ClGray;
4: pen.Color:=ClYellow;
5: pen.Color:=ClPurple;
6: pen.Color:=ClSilver;
7: pen.Color:=ClGreen;
8: pen.Color:=ClAqua;
9: pen.Color:=ClBlue;
10: pen.Color:=ClFuchsia;
11: pen.Color:=ClTeal;
12: pen.Color:=ClNavy;
13: pen.Color:=ClMaroon;
14: pen.Color:=ClOlive;

```

mmxy - масштаб, в якому виводиться зображення багатокутника в область *Image1*;

n - кількість вершин багатокутника;

xm,ym - масиви з координатами вершин багатокутника;

xc,yc – координати центру прямокутника, описаного навколо багатокутника, зображення якого виводиться в область *Image1*;

xcd,ycd – координати центру області *Image1*;

```

procedure Graph_im1(col:integer;mmxy:real; n:word; xm,ym:array of int64;
xc,yc:integer; xcd,ycd:int64);
var Xr,Yr:mas1; i:Integer ;

```

```

      Begin
      for i:=0 to n-1
      begin
      xr[i]:=round((xm[i]-xcd)*mmxy+xc);
      yr[i]:=round((-ym[i]+ycd)*mmxy+yc);
      end;
      with form1.image1.canvas do begin
      Pen.width:=2;
      Pen.Mode:=pmCopy;
      case col of
      1: pen.Color:=ClRed;
      2: pen.Color:=ClBlack;
      3: pen.Color:=ClGray;
      4: pen.Color:=ClYellow;
      5: pen.Color:=ClPurple;
      6: pen.Color:=ClSilver;
      7: pen.Color:=ClGreen;
      8: pen.Color:=ClAqua;
      9: pen.Color:=ClBlue;
      10: pen.Color:=ClFuchsia;
      11: pen.Color:=ClTeal;
      12: pen.Color:=ClNavy;
      13: pen.Color:=ClMaroon;
      14: pen.Color:=ClOlive
      else pen.Color:=TColor(RGB(255,128,64));
      end;
      for i:=0 to n-1 do
      if i=0 then moveto(xr[i],yr[i]) else lineto(xr[i],yr[i]); {Ðèñòàì éúòóóú áàòàèè}
      end;
      End;

```

Процедура *Skv* визначає площу *s* многокутника, який визначається наступними параметрами:

n - кількість вершин многокутника;

x, y - масиви з координатами вершин многокутника.

```

Procedure Skv(n:integer; Var x,y:array of Int64; Var s:Int64);
Var i:integer;
Begin

```

```

s:=0;
For i:=0 to n-2 do
s:=s+x[i]*y[i+1]-x[i+1]*y[i];
s:=Round(abs(s)/2)
End;

```

Процедура *PrKoor* забезпечує перерахування координат вершин многокутника при повороті його на кут *alf*, який визначається наступними параметрами:

n - кількість вершин многокутника;

x, y - масиви з координатами вершин многокутника;

xr, yr - масиви з координатами вершин многокутника при повороті його на кут *alf*.

```

Procedure PrKoor(n:integer; var x,y,xr,yr:array of Int64;
alf:real;xr1,yr1:Int64);
Var i:integer;
begin
for i:=0 to n-1 do
begin
xr[i]:=round(x[i]*cos(alf)-y[i]*sin(alf)+xr1);
yr[i]:=round(x[i]*sin(alf)+y[i]*cos(alf)+yr1);
end;
end;

```

Процедура *VipDet* генерує опуклий мнокутник(опуклу оболонку) з координатами вершин *Xob, Yob* навколо многокутника довільної форми з координатами вершин *X, Y*.

Параметри процедури:

n - кількість вершин базового многокутника ;

X, Y - масиви з координатами вершин базового многокутника;

Nob - кількість вершин опуклого мнокутника(опуклої оболонки) навколо многокутника довільної форми з координатами вершин *X, Y*.

Xob, Yob – координати вершин опуклого мнокутника(опуклої оболонки) навколо мнокутника довільної форми з координатами вершин X, Y .

```
Procedure VipDet(n:integer; x,y:array of Int64; Var Xob,Yob:array of Int64;
    Var Nob:integer);
```

```
Var
```

```
i,l,m,p,q:integer;
```

```
delta:real;
```

```
pr:boolean;
```

```
Begin
```

```
p:=0;
```

```
Xob[p]:=X[0];
```

```
Yob[p]:=Y[0];
```

```
Nob:=n;
```

```
Repeat
```

```
i:=0;
```

```
m:=2; l:=1;
```

```
pr:=true;
```

```
Repeat
```

```
delta:=(y[i+m]-y[i])*(x[i+L]-x[i])-
```

```
(y[i+L]-y[i])*(x[i+m]-x[i]);
```

```
if delta<=0 then
```

```
begin
```

```
pr:=false;
```

```
q:=i+m;
```

```
m:=m+1;
```

```
L:=L+1;
```

```
// q:=i+m;
```

```
end
```

```

else
begin
p:=p+1;
q:=i+m+1;
Xob[p]:=X[i+L];
Yob[p]:=Y[i+L];
i:=i+L;
m:=2;
L:=1
end;
Until q>Nob-1;
Xob[p+1]:=X[0];
Yob[p+1]:=Y[0];
Nob:=p+2;
p:=0;
For i:=0 to Nob-1 do
begin
X[i]:=Xob[i];
Y[i]:=Yob[i];
end;
Until pr;
End;

```

Процедура *GodVip* генерує годограф вектор-функцій щільного розміщення для двох опуклих мнокутників.

Параметри процедури:

nn - кількість вершин нерухомого мнокутника ;

Xn, Yn - масиви з координатами вершин нерухомого мнокутника;

nn - кількість вершин рухомого многокутника ;

Xn, Yn - масиви з координатами вершин рухомого многокутника;

k - кількість вершин графа вектор-функцій щільного розміщення для двох опуклих многокутників.

Xg, Yg –координати вершин графа вектор-функцій щільного розміщення для двох опуклих многокутників.

*Procedure GodVip(nn,nv:integer; Var xn,yn,xv,yv,
xg,yg:array of Int64; Var k:integer);*

Var i,j:integer;

s:real;

begin

{ writeln(nn:4,nv:4,xn[1]:5,yn[1]:5,xv[1]:5,yv[1]:5);}

i:=0;

j:=0;

k:=-1;

xn[nn]:=xn[1];

yn[nn]:=yn[1];

xv[nv]:=xv[1];

yv[nv]:=yv[1];

xn[nn+1]:=xn[2];

yn[nn+1]:=yn[2];

xv[nv+1]:=xv[2];

yv[nv+1]:=yv[2];

repeat

k:=k+1;

xg[k]:=xv[i]-xn[j];

yg[k]:=yv[i]-yn[j];

s:=(xn[j]-xn[j+1])(yv[i+1]-yv[i])-*

```

        (yn[j]-yn[j+1])*(xv[i+1]-xv[i]);
        if s<=0 then i:=i+1
        else j:=j+1;
    {
        writeln(k:3,xg[k]:7:2,yg[k]:7:2);
        readln;
    }
    until ((k>nn-1) and (xg[0]=xg[k]) and
        (k>nv-1) and (yg[0]=yg[k]));
        k:=k+1
    end;

```

Функція *PointCrossTwoLine* повертає *True* та координати вершин точки перетину двох відрізків, якщо вони перетинаються[29-30]. Інакше вона повертає *False*.

Параметри функції:

Xa, Ya, Xb, Yb (Xc, Yc, Xd, Yd)- відповідно координати вершин першого (другого) відрізка.

$x0, y0$ – координати точки перетину двох відрізків.

```

Function PointCrossTwoLine(Xa,Ya,Xb,Yb,Xc,Yc,Xd,Yd:Int64; var
x0,y0:Int64):boolean;

```

```

    Var A1,B1,C1,A2,B2,C2,Ra,Rb,Rc,Rd,Rab,Rcd,D1,D2,D0:Int64;

```

```

        i:integer;

```

```

        B:boolean;

```

```

Begin

```

```

    PointCrossTwoLine:=False;

```

```

    A1:=ya-yb;

```

```

    B1:=xb-xa;

```

```

    C1:=yb*(xa-xb)-xb*(ya-yb);

```

```

    A2:=yc-yd;

```



```

B2:=xd-xc;
C2:=yd*(xc-xd)-xd*(yc-yd);
Ra:=A2*Xa+B2*Ya+C2;
Rb:=A2*Xb+B2*Yb+C2;
Rc:=A1*Xc+B1*Yc+C1;
Rd:=A1*Xd+B1*Yd+C1;
Rab:=Ra*Rb;
Rcd:=Rc*Rd;
B:=((Rcd<0)and(Rab<0))or((Rcd<0)and(Rab=0))or((Rcd=0)and(Rab<0));
If B then
begin
  PointCrossTwoLine:=True;
  D0:=A1*B2-A2*B1;
  D1:=C2*B1-C1*b2;
  D2:=C1*A2-C2*A1;
  X0:=Round(D1/D0);
  Y0:=Round(D2/D0);
end;
End;

```

3.4. Інструкції по роботі з програмним продуктом

Початок роботи з програмою розпочинається з запуску файлу *PrMatonov.exe*. При цьому на екрані з'являється головне вікно програми прийме наступний вигляд(рис. 3.1).

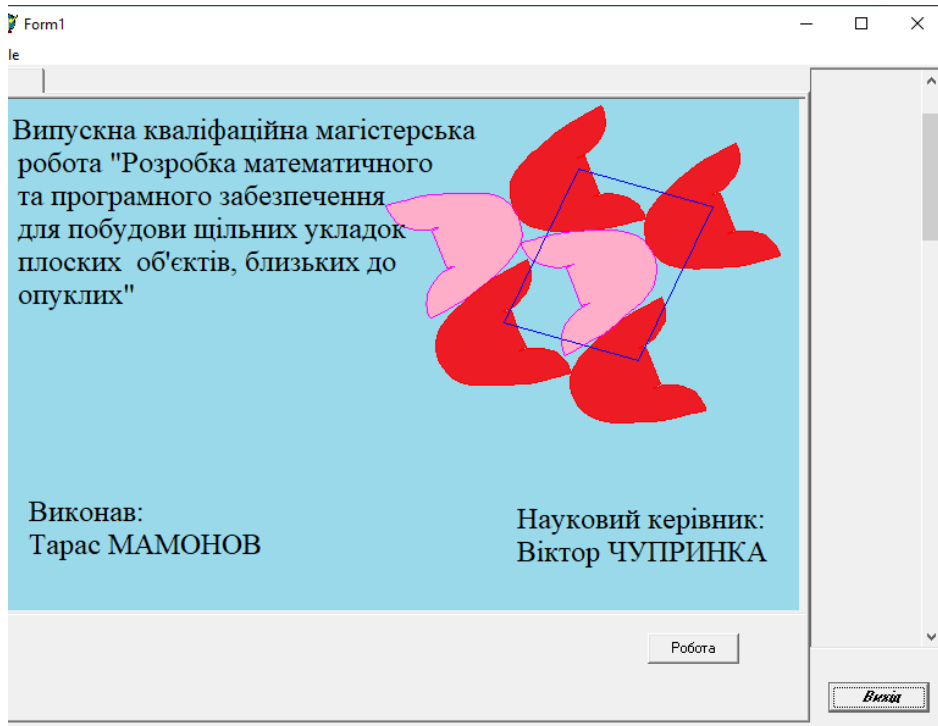


Рис. 3.1

Після натиску на кнопку «Робота» головне вікно програми настуний вигляд (рис. 3.2).

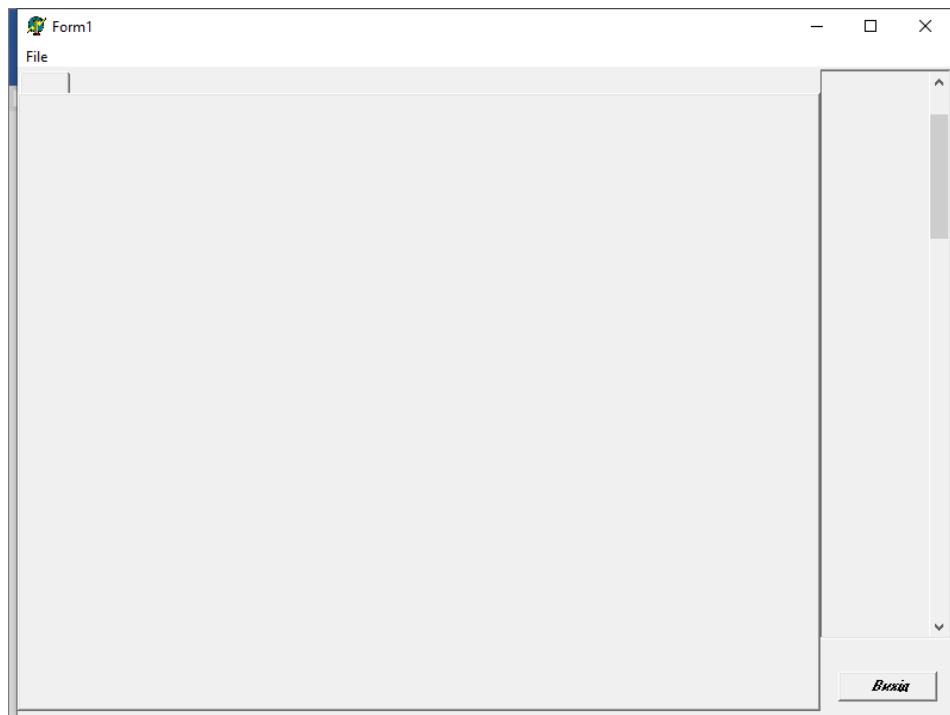


Рис. 3.2

Тепер вводимо інформацію про зовнішні деталей моделі. Після цього головне вікно програми наступний вигляд (рис. 3.3).

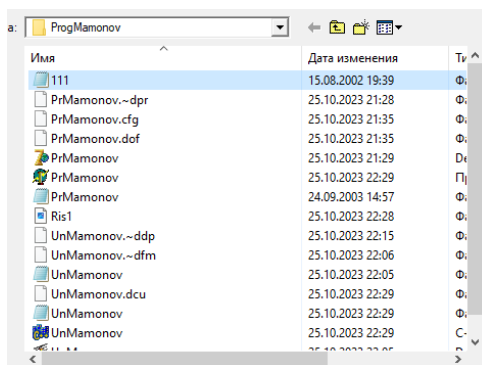


Рис. 3.3

Після вводимо інформацію про зовнішні деталей моделі головне вікно програми наступний вигляд (рис. 3.4).

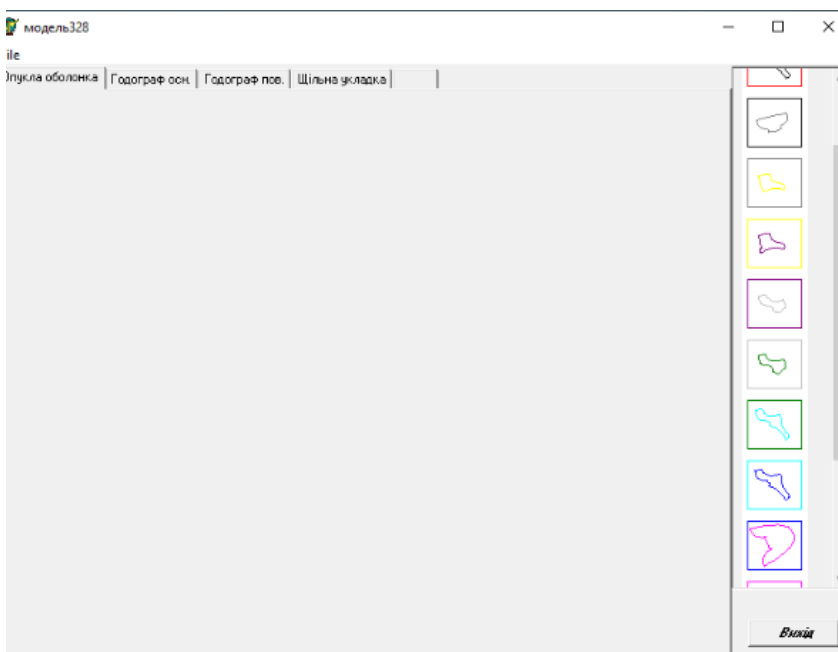


Рис. 3.4

Після вибору деталі із меню, що знаходиться праворуч на формі, головне вікно програми на наступний вигляд (будується опукла оболонка деталі)(рис. 3.5).

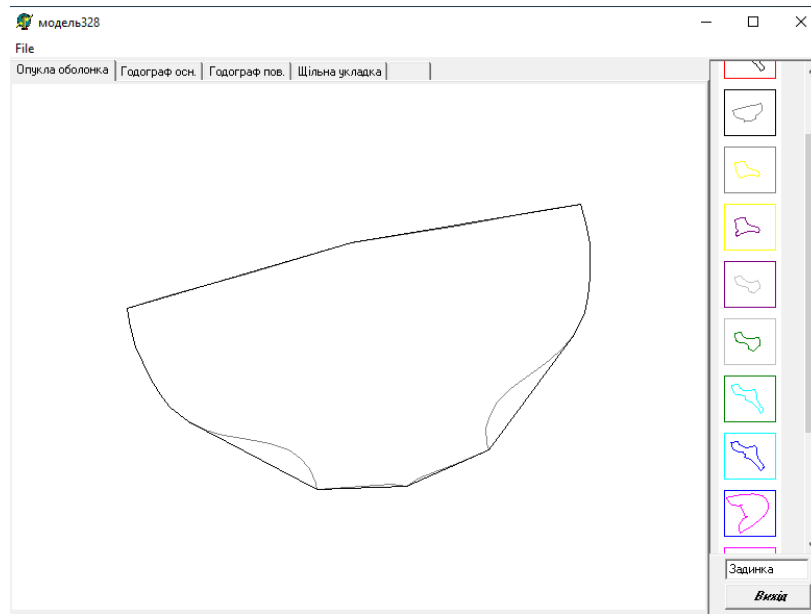


Рис. 3.5

Після побудови опуклої оболонки деталі будується годограф вектор-функції щільного розміщення для деталі самої з самою (рис. 3.6).

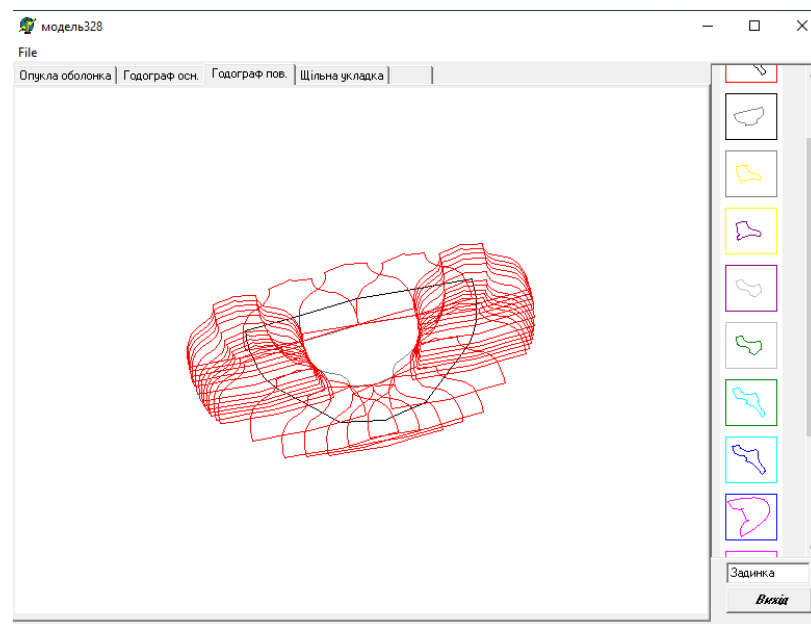


Рис. 3.6

Далі будується щільна укладка для для однаково орієнтованих деталей(рис. 3.7).

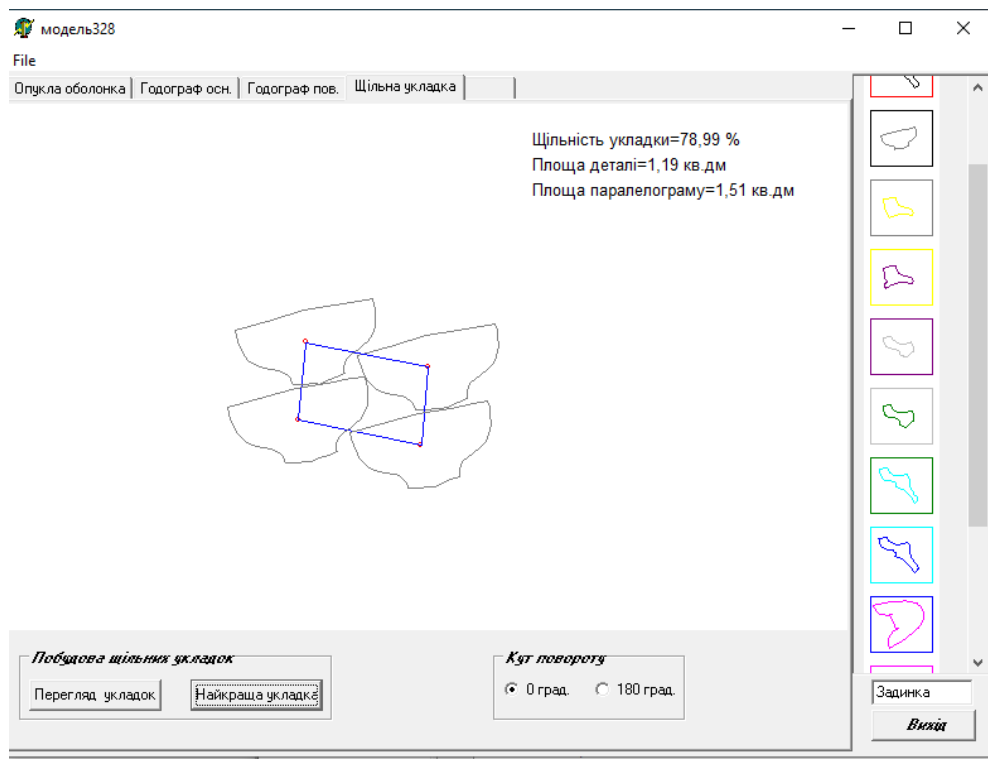


Рис. 3.7

Програма має можливість щільна укладка для деталей, що повернуті на 180° (рис. 3.8)

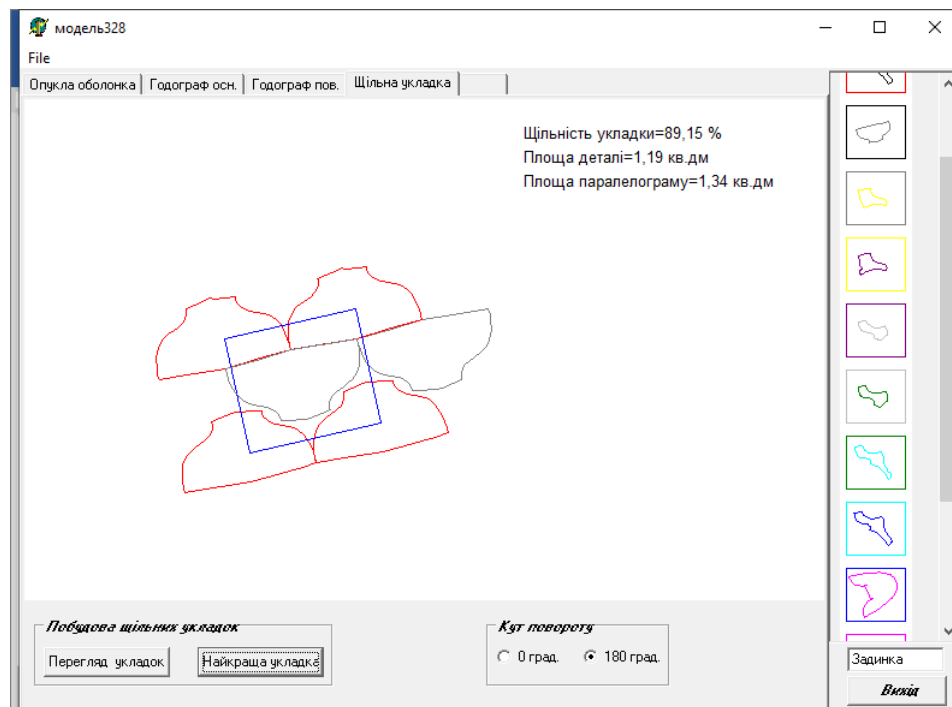


Рис. 3.8

Висновки до третього розділу

Запропонована математична модель задачі побудови щільних укладок плоских об'єктів, близьких до опуклих, виділені її структурні компоненти та представлений аналітичний опис цих компонентів та запропоновані алгоритми вирішення задачі побудови щільних укладок плоских об'єктів, близьких до опуклих, дозволили розробити програмний продукт, який вирішує поставлену задачу.

Висновки

Проведено дослідження та розроблені такі алгоритми для автоматизованого проектування щільних укладок для плоских геометричних об'єктів, що є близькі до опуклих:

- Побудова опуклої оболонки для плоских геометричних об'єктів, що є близькі до опуклих;
- Генерування щільних укладок для однаково орієнтованих плоских геометричних об'єктів, що є близькі до опуклих;
- Генерування щільних укладок для повернутих на 180° плоских геометричних об'єктів, що є близькі до опуклих;
- Запропоноване математичне забезпечення для генерування щільних укладок для однаково орієнтованих плоских геометричних об'єктів, що є близькі до опуклих;

Цей програмний продукт легкий в користуванні, має дружній та привабливий інтерфейс. Може бути застосована на підприємствах в галантерейній промисловості.

СПИСОК ВИКОРИСТАНИХ ДЖЕРЕЛ

1. Чертенко Л.П. Розробка комп'ютерної технології проектування внутрішньої форми взуття та деталей низу автореф. дис. на здобуття наук. ступеня канд. техн. наук : 05.16.08. Київ, 2003. 27 с.
2. Чертенко Л.П., Коновал В.П. Математичне задання контурів внутрішньої форми взуття // Вісник КНУТД. 2002. №1. С. 15-19.
3. Каменець С.Є., Васютинська В.В. Використання сучасних методів візуального дизайну та просторового моделювання для створення шкіргалантерейних виробів// Вісник Хмельницького національного університету. – 2020. - № 4. с. 199-205.
4. Gerber Hiera mit Partner//Schuh-Techn. Int. Schuh-Techn. + ABC. 1997.- 91, № 1 -2.- P. 6
5. Lectra-Marktführer in Brasilien//Schuh-Techn. Int.1995.-89, № 1 - 2. P.24-25.
6. Практикум з конструювання і проектування взуття: навч. посібник / за заг. ред. В. І. Бегняк. – Хмельницький: ХНУ, 2013. – С. 173–180. Каменець С.Є., Васютинська В.В. Використання сучасних методів візуального дизайну та просторового моделювання для створення шкіргалантерейних виробів// Вісник Хмельницького національного університету. – 2020. - № 4. с. 199-205.
7. Коновал В. П. Універсальний довідник взуттєвика: навчальний посібник / В. П. Коновал, С. С. Гаркавенко, Л. Т. Свістунова. – Київ: Лібра, 2005. – 720 с.
8. Столярова В. В., Каменець С. Є., Борщевська Н. М. Просторове моделювання та проектування аксесуарів і фурнітури виробів індустрії моди / Технології та дизайн № 3(36) 2020р. [Електронний ресурс] - Режим доступу:<https://drive.google.com/file/d/1DEkBLCjWLSRG23OkK0hgNKNDO-uZTZ6i/view?usp=sharing>. Gerber Hiera mit Partner//Schuh-Techn. Int. Schuh-Techn. + ABC. 1997.- 91, № 1 -2.-P. 6

9. Чупринка В.І. Підготовка інформації для автоматичного розкрою / В.І. Чупринка, Волошин, Піпа Т.А. // Вісник ДАЛПУ. – 2000. - №1. – С. 91-83
10. Чупринка В.І. Розрахунок площі деталей, зовнішні контури яких апроксимуються В-сплайном / В.І. Чупринка, П.В. Омельченко // Вісник ДАЛПУ. - 2000. - № 1. – С. 89-90.
11. Чупринка В.І. Проектування раціональних схем розкрою рулонних матеріалів на деталі взуття з урахуванням розмірного асортименту / В.І. Чупринка, О.О. Шишкіна, Л.Т. Свістунова // Вісник КНУТД - 2002. - №2. – С. 35-38
12. Програмний комплекс для проектування раціональних схем розкрою рулонних матеріалів на деталі взуття з урахуванням розмірного асортименту. / В.І. Чупринка, О.О. Шишкіна, Л.Т. Свістунова, Т.І. Тимчук // Вісник Технологічного університету Поділля. - 2003. - №4, Ч2. – С. 110-113..
13. Чупринка В.І. Підготовка інформації для побудови раціональних схем розкрою рулонних матеріалів на деталі взуття та графічна візуалізація цих схем / В.І. Чупринка, О.О. Шишкіна, Л.Т. Свістунова // Вісник Технологічного університету Поділля. – 2003. - №5. - Ч1. – С. 38-41
14. Чупринка В.І. Алгоритм підготовки інформації для побудови розкрійних схем рулонних матеріалів на деталі взуття та шкіргалантерейних виробів / В.І. Чупринка, О.З Колиско // Вісник КНУТД. – 2005. - №3 – С. 19-24.
15. Чупринка В.І. Алгоритм автоматичної підготовки вихідної інформації для побудови раціональних схем розкрою. / В.І. Чупринка, О.В. Чебанюк // Вісник КНУТД. – 2006. - №6. – С. 18-22
16. Чупринка В.І. Підготовка інформації для автоматичного розкрою / В.І. Чупринка, Волошин, Піпа Т.А. // Вісник ДАЛПУ. – 2000. - №1. – С. 91-83.
17. Чупринка В.І. Підготовка інформації для побудови раціональних схем розкрою рулонних матеріалів на деталі взуття та графічна візуалізація цих схем / В.І. Чупринка, О.О. Шишкіна, Л.Т. Свістунова // Вісник Технологічного університету Поділля. – 2003. - №5. - Ч1. – С. 38-41

18. Чупринка В.І. Система підготовки інформації для автоматичного розкрою спроектованих схем розкрою./ В.І. Чупринка, В.Ю. Щербань, І.І. Тонн // Вісник КНУТД. – 2003. - №2 . – С. 171-173.
19. Стоян Ю.Г. Розміщення геометричних об'єктів. – Київ: Наукова думка, 1975. – 239с.
20. Стоян Ю.Г., Гиль І.М. Методи та алгоритми розміщення плоских геометричних об'єктів. – Київ: Наукова думка, 1976. – 242с.
21. Чупринка В.І. Розрахунок площі деталей, зовнішні контури яких апроксимуються В-сплайном / В.І. Чупринка, П.В. Омельченко // Вісник ДАЛПУ. - 2000. - № 1. – С. 89-90
22. Чупринка В.І. Алгоритм побудови щільних укладок для двох видів плоских геометричних об'єктів. / В.І. Чупринка, О.В. Чебанюк // Вісник КНУТД. – 2007. -№6. – С. 107-112
23. Ковалюк Т. В. Алгоритмізація та програмування: підручник з грифом МОН України / Т.В. Ковалюк. – Львів : Магнолія-2006, 2013. – 400 с.
24. Шаховська, Н. Б. Алгоритми і структури даних [Текст]: посібник / Н.Б. Шаховська, Р.О. Голощук; - Львів: Магнолія, 2010 – 215с.
25. Веселовська Г.В. та Ходакова, В.Є., 2015. Комп'ютерна графіка. Київ: Кондор.
26. Михайленко В. Є. Інженерна та комп'ютерна графіка. К. : Вища школа, 2002. 332 с.
27. Горобець С.М., 2006. Основи комп'ютерної графіки. Київ: Центр навчальної літератури. Manual of Shoemaking. /Under edition of R.G. Miller.Produced By the Trading Department Clarks, 1989. - 337 p.
28. Березовський В.С., Потієнко, В.О. та Завадський, І.О., 2009. Основи комп'ютерної графіки. Київ: ВНУ.
29. Веселовська Г.В. та Ходакова, В.Є., 2015. Комп'ютерна графіка. Київ: Кондор.
30. Михайленко В. Є. Інженерна та комп'ютерна графіка. К. : Вища школа, 2002. 332 с.

Публікація за темою випускної магістерської роботи

МІНІСТЕРСТВО ОСВІТИ І НАУКИ УКРАЇНИ

Київський національний університет технологій та дизайну

Кафедра комп'ютерних наук

ІНФОРМАЦІЙНІ ТЕХНОЛОГІЇ В НАУЦІ, ВИРОБНИЦТВІ ТА ПІДПРИЄМНИЦТВІ

Збірник наукових праць молодих вчених, аспірантів, магістрів кафедри
комп'ютерних наук

Інформаційні технології в науці, виробництві та підприємстві
Київський національний університет технологій та дизайну

Мамонов Т.А., Чупринка В.І. Алгоритм побудови опуклої оболонки для многокутника	179
Міненко М.С., Чупринка В.І. Розробка математичного та програмного забезпечення для інтерактивної побудови щільних укладок плоских об'єктів	182
Невмержицький О.А., Чупринка В.І. Розробка математичного та програмного забезпечення для автоматизованого вводу інформації про зовнішні контури плоских об'єктів	185
Овчаров А.С., Чупринка В.І. Розробка математичного та програмного забезпечення для проєктування чоловічих штанів на не типову фігуру	188
Щербатюк Р.В., А.В., Чупринка В.І. Розробка математичного та програмного забезпечення для проєктування декоративних елементів на деталях взуття	191
Артеменко П.Ю., Чупринка Н. В. Розробка математичного та програмного забезпечення для автоматизованого проєктування деталей виробів шкіргалантереї	194
Конєцький Я. М., Чупринка Н.В. Розробка математичного та програмного забезпечення для автоматизованого проєктування декоративних елементів для виробів шкіргалантереї	197
Головка С.В., Чупринка Н.В. Розробка математичного та програмного забезпечення для автоматизованої підготовки інформації про деталі шкіргалантереї	200
Упіров І.С., Чупринка В.І. Підготовка інформації про зовнішні контури деталей виробів дрібної шкіргалантереї	203
Мірошніченко Д.В., Посвістак В. С., Чупринка В.І. Інтерактивна побудова розкрийних схем натуральних матеріалів	206
Яхно В.М., Нирко М. В.. Автоматизована система контролю і аналізу ефективності використання інженерних мереж підприємства	209
Яхно В.М., Кириченко І. А. Автоматизована система контролю і аналізу ефективності використання комп'ютерних мереж підприємства	213
Яхно В.М., Бунтов М. І. Автоматизована система контролю і аналізу ефективності використання програмних засобів підприємства	216
Яхно В.М., Простибоженко С. С., Рубан А. О.. Експериментальне обґрунтування якості градієнтних методів навчання нейронних мереж	219

Conclusion

The developed method of automated generation of rational schemes for cutting rolled materials into parts of leather goods was implemented into a software product. This software product has a friendly interface and does not require additional knowledge of computer science when working with it.

МАМОНОВ Т.А., ЧУПРИНКА В.І.

АЛГОРИТМ ПОБУДОВИ ОПУКЛОЇ ОБОЛОНКИ ДЛЯ МНОГОКУТНИКА

MAMONOV T.A., CHUPRYNKA V.I.

ALGORITHM FOR CONSTRUCTING A CONVEX SHELL FOR A POLYGON

The paper considers an algorithm for solving one of the problems of constructing dense stacks of flat objects close to convex ones, namely, constructing a convex shell for a polygon.

Key words: dense packing, convex shell, polygon.

Вступ

Часта зміна моделей виробів легкої промисловості потребує значного підвищення підготовчих робіт. Скорочення термінів цих робіт, зменшення вартості та підвищення якості технологічних рішень повинно бути досягнуто шляхом підвищення продуктивності за рахунок впровадження у виробництво математичних методів, обчислювальної техніки та розробки програмних засобів технологічної підготовки виробництва.

Цілью автоматизації проектування є, зниження матеріальних затрат, скорочення термінів проектування та ліквідація тенденції до збільшення кількості інженерно-технічних робітників, які зайняті проектуванням, підвищення продуктивності їх праці. Це дозволить, по-перше, підвищити якість і скоротити терміни рішення проектних задач за рахунок можливості розглядати як весь об'єкт у цілому, так і взаємозв'язку його елементів. По-друге, розробка структурно-графічних моделей технологічних об'єктів є формалізованим їхнім описом, що дозволяє здійснити перехід до математичних моделей — як основи алгоритмізації інтелектуальних процесів у технологічному проектуванні.

Основна частина

В роботі розглядається одна із задач математичного та програмного забезпечення для побудови щільних укладок плоских об'єктів, близьких до опуклих, а саме побудова опуклої оболонки для многокутника.

Алгоритм побудови опуклої оболонки для многокутника

Постановка задачі. Нехай маємо многокутника P з координатами вершин (Xp_i, Yp_i) , $i=0,1,2..n-1$. Знайти опуклу оболонку R із координатами вершин (Xob_j, Yob_j) , $j=0,1,2..p-1$ для многокутника P .

Інформаційні технології в науці, виробництві та підприємстві
Київський національний університет технологій та дизайну

Алгоритм побудови опуклої оболонки буде базуватись на властивості векторного добутку двох векторів. $a=(x_a,y_a)$ та $b=(x_b,y_b)$, а саме: модуль векторного добутку буде додатнім, якщо найкоротший шлях від вектора a до вектора b буде проти годинникової стрілки.

На рис.1. представлені етапи побудови опуклої оболонки для многокутника та опорної функції. Спочатку вибираємо за початкову вершину, в якій координата X досягає максимуму. Це буде точка P_0 (рис.1.а).

Потім будемо вектор $a=P_0P_1$ $b=P_0P_2$. Якщо модуль векторного добутку двох векторів. a та b буде менше або дорівнювати нулю при обході контуру проти годинникової стрілки, то вершина P_1 не знаходиться на опуклій оболонці і буде виключена із розгляду (рис. 6.12.б). Аналогічно продовжуємо розгляд контуру многокутника та вилучення з розгляду тих вершин многокутника, які не лежать на опуклій оболонці (рис. 6.21.в) поки не залишиться жодної точки на новому контурі, яка не належить опуклій оболонці (рис. 1.в-г). Побудована опукла оболонка представлена на рис.1.г.

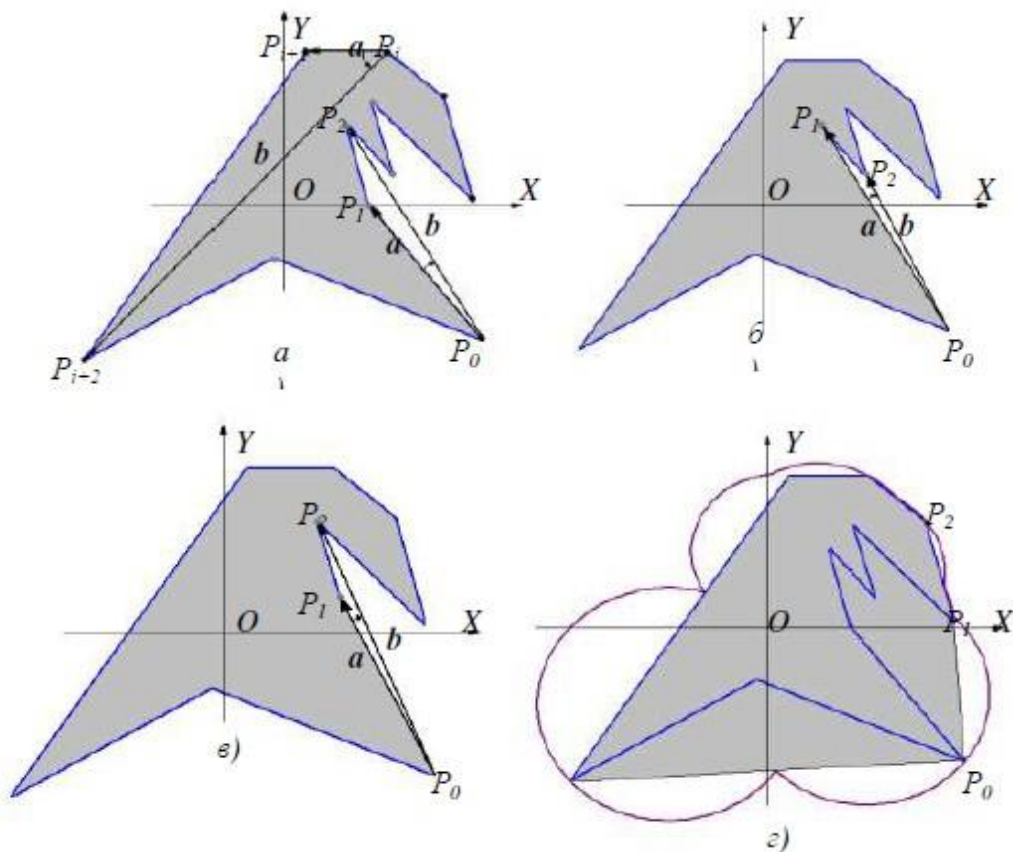


Рис.1. Етапи побудови опуклої оболонки

Алгоритм побудови опуклої оболонки R для многокутника P матиме наступні пункти:

1. Визначення на многокутнику такої вершини, що вона завжди входить до вершин на зовнішньому контурі опуклої оболонки. За таку вершину візьмемо будь-яку з вершин многокутника, в якій координата X або Y досягає екстремуму (максимуму або мінімуму). Нехай за таку вершину приймемо k -ту вершину многокутника, для якої $X_{p_k} = \max_{i=0,1..n-1} (X_{p_i})$;

2. В многокутнику P циклічно переставимо вершини таким чином, що першою вершиною стане k -та вершина многокутника, для якої $X_{p_k} = \max_{i=0,1..n-1} (X_{p_i})$;

3. Визначаємо напрям обходу многокутника (порядок, у якому записані координати вершин многокутника при обході многокутника, за годинниковою стрілкою чи проти годинникової стрілки). Для цього знаходимо порядкові номери вершин $k1, k2, k3$, для яких виконуються наступні вирази

$$Y_{p_{k1}} = \max_{i=0,1..n-1} (Y_{p_i}); \quad X_{p_{k2}} = \min_{i=0,1..n-1} (X_{p_i}); \quad Y_{p_{k3}} = \min_{i=0,1..n-1} (Y_{p_i}).$$

Якщо виконується наступна нерівність $k1 \leq k2 \leq k3$, то напрям обходу контуру многокутника проти годинникової стрілки, інакше напрям обходу контуру многокутника за годинниковою стрілкою.

5. Якщо напрям обходу контуру многокутника проти годинникової стрілки, то $Flag1=True$, інакше - $Flag1=False$.

6. Присвоюємо $i=0, j=0, t=1, m=2, Flag2=True, X_{ob_0}=X_{p_0}, Y_{ob_0}=Y_{p_0}$;

7. Визначимо $\Delta = (Y_{p_{i+m}} - Y_{p_i})(X_{p_{i+t}} - X_{p_i}) - (X_{p_{i+m}} - X_{p_i})(Y_{p_{i+t}} - Y_{p_i})$.

Якщо $\Delta < 0$ та $Flag1=True$ або $\Delta > 0$ та $Flag1=False$,

то виконуємо наступні дії

Початок $Flag1=False; q=i+m; m=m+1; l=l+1$ **Кінець**

інакше виконуємо наступні дії

Початок $j=j+1; q=i+m+1; m=m+1; X_{ob_j}=X_{p_{i+l}}, Y_{ob_j}=Y_{p_{i+l}}$;

$i=i+l; m=2; l=1$ **Кінець**

8. Якщо $q < n-1$, то повертаємося до пункту 7;

9. Присвоюємо $X_{ob_{j+1}}=X_{p_0}, Y_{ob_{j+1}}=Y_{p_0}, p=j+2$;

10. Якщо $Flag2=False$, то

Початок для $j=0$ до $p-1$ роби

Початок $X_{p_j}=X_{ob_j}, X_{p_j}=X_{ob_j}$ **Кінець**

$t=p$; Повертаємося до пункту 6. **Кінець**

інакше **Кінець**.

Висновки

Запропонований алгоритм побудови опуклої оболонки для многокутника дозволив звести задачу розробки математичного та програмного забезпечення для побудови щільних укладок плоских об'єктів, близьких до опуклих до задачі розробки математичного та програмного забезпечення для побудови щільних укладок для опуклих многокутників. Це значно спростило програмну реалізацію задачі побудови щільних укладок плоских об'єктів, близьких до опуклих.

МІНЕНКО М.С., ЧУПРИНКА В.І.

РОЗРОБКА МАТЕМАТИЧНОГО ТА ПРОГРАМНОГО ЗАБЕЗПЕЧЕННЯ ДЛЯ ІНТЕРАКТИВНОЇ ПОБУДОВИ ЩІЛЬНИХ УКЛАДОК ПЛОСКИХ ОБ'ЄКТІВ

MINENKO M.S., CHUPRYNKA V.I.

DEVELOPMENT OF MATHEMATICAL AND SOFTWARE FOR INTERACTIVE CONSTRUCTION OF DENSE LAYERS OF FLAT OBJECTS

The article is devoted to the development of mathematical and software for interactive construction of dense stacks. The software has a user-friendly interface and does not require additional computer science knowledge when working with it.

Key words: dense stacking, interactive construction, angle method

Вступ

Часта зміна моделей суконь для дівчаток потребує значного підвищення підготовчих робіт. Скорочення термінів цих робіт, зменшення вартості та підвищення якості технологічних рішень повинно бути досягнуто шляхом підвищення продуктивності за рахунок впровадження у виробництво математичних методів, обчислювальної техніки та розробки програмних засобів технологічної підготовки виробництва.

Ціллю автоматизації проектування є, зниження матеріальних затрат, скорочення термінів проектування та ліквідація тенденції до збільшення кількості інженерно-технічних робітників, які зайняті проектуванням, підвищення продуктивності їх праці. Це дозволить, по-перше, підвищити якість і скоротити терміни рішення проектних задач за рахунок можливості розглядати як весь об'єкт у цілому, так і взаємозв'язку його елементів. По-друге, розробка структурно-графічних моделей технологічних об'єктів є формалізованим їхнім описом, що дозволяє здійснити перехід до математичних моделей — як основи алгоритмізації інтелектуальних процесів у технологічному проектуванні.

Основна частина

Загальну технологічну постановку задачі проектування найщільнішої укладки можна сформулювати наступним чином: розмістити деталі в

Міністерство освіти і науки України

Київський національний університет
технологій та дизайну

**МЕХАТРОННІ СИСТЕМИ:
ІННОВАЦІЇ ТА ІНЖИНІРИНГ**

**ТЕЗИ ДОПОВІДЕЙ
VII МІЖНАРОДНОЇ НАУКОВО-ПРАКТИЧНОЇ
КОНФЕРЕНЦІЇ**

23 листопада 2023

Рекомендовано Вченою радою
факультету мехатроніки та комп'ютерних технологій
Київського національного університету технологій та дизайну

КИЇВ 2023

Чупринка В.І., Мамонов Т.А., Міненко М.С. Розробка математичного та програмного забезпечення для побудови щільних укладок плоских об'єктів.....	214
Чупринка В.І., Мірошніченко Д.В., Посвістак В.С. Раціональний розкрій натуральних матеріалів.....	216
Чупринка В.І., Науменко Б.В. Розробка математичного та програмного забезпечення для генерування множини допустимих схем розкрою рулонних матеріалів на деталі шкіргалантереї.....	218
Чупринка Н.В., Невмержицький О.А., Каземірчик М.С. Розробка математичного та програмного забезпечення для автоматизованої підготовки інформації про деталі виробів легкої промисловості.....	220
Чупринка В.І., Овчаров А.С., Артеменко П.Ю. Задачі, що виникають при автоматизованому проєктуванні виробів легкої промисловості.....	222
Чупринка Н.В. Ущільнення інформації про зовнішні контури деталей шкіргалантереї.....	224
Чупринка В.І., Щербатюк Р.В., Конецький Я.М. Розробка математичного та програмного забезпечення для проєктування декоративних елементів на деталях виробів легкої промисловості.....	226
Скідан В.В., Пилипенко В.І., Каленський Б.В. Автоматизація тестування веб-застосунків.....	228
Ніконов О.Я., Філіпов В.В. Дослідження комп'ютерних систем для керування комплексованими навігаційними системами.....	230
Agayeva R.S., Ogujova A.A. Innovative electrical equipment in the field production and transmission of alternative energy.....	232
Нирко В.М., Яхно В.М. Система автоматизованого моніторингу та оцінки продуктивності використання інженерних мереж на підприємстві.....	234
Skidan V.V., Zhuk Y.Yu. The water to cement ratio is a key aspect in an automated moisture control system.....	237
Яхно В.М., Бунтов М.І., Кириченко І.А. Розробка експертних систем для аналізу ефективності і підтримки планів оновлення комп'ютерних мереж і програмних засобів підприємства.....	239
Яхно В.М., Простибоженко С.С., Рубан А.О. Експериментальне дослідження якості градієнтних методів оптимізації.....	241
Shukurova LN., Bakhshiyeva G.S., Gurbanova G.G. Analysis methods and research on the evaluation of the parameters of dispersion and attenuation of optical line terminal (OLT) and optical amplifier (OA).....	242

УДК 688.359

РОЗРОБКА МАТЕМАТИЧНОГО ТА ПРОГРАМНОГО ЗАБЕЗПЕЧЕННЯ ДЛЯ ПОБУДОВИ ЩІЛЬНИХ УКЛАДОК ПЛОСКИХ ОБ'ЄКТІВ

В.І. Чупринка, доктор технічних наук, професор
Київський національний університет технологій та дизайну

Т.А. Мамонов, магістрант

Київський національний університет технологій та дизайну

М.С. Міненко, магістрант

Київський національний університет технологій та дизайну

Ключові слова: математичне та програмне забезпечення, щільні укладки, легка промисловість.

Застосування якісного програмного забезпечення для автоматизованого проектування раціональних схем розкрою матеріалів на деталі виробів легкої промисловості підвищить процент ефективного використання матеріалу при розкрою та зменшить кількість відходів, які потрібно буде утилізувати.

Постановка задачі. Припустимо, що многокутник S решітчасто розміщується на площині. Розглядається подвійні решітчасті укладки многокутників із заданою орієнтацією $S(0)$ і $S(\pi)$ повернутих на кут π і розв'язується задача пошуку найщільнішої серед них.

Зформулюємо вказану задачу більш чітко:

Задача Серед подвійних решітчастих укладок W многокутників $S(0)$ і $S(\pi)$ знайти таку $W^* = W(\bar{a}_1^*, \bar{a}_2^*, \bar{g}^*)$, щоб щільність $\delta_S(W^*)$ подвійної укладки многокутників $S(0)$ і $S(\pi)$, виконаної за цією решіткою задовільнила співвідношенню

$$\delta_S(W^*) = \max_W \delta_S(W). \quad (1)$$

Враховуючи, що $|S|$ – площа многокутника є сталою, задачу можна зформулювати по іншому:

Серед подвійних решіток $W = W(\bar{a}_1, \bar{a}_2, \bar{g})$, допустимих для укладки фігур $S(0)$ і $S(\pi)$, знайти таку $W^* = W(\bar{a}_1^*, \bar{a}_2^*, \bar{g}^*)$, детермінант якої має мінімальне значення.

$$\det W^* = \det W(\bar{a}_1^*, \bar{a}_2^*, \bar{g}^*) = \min \det W(\bar{a}_1, \bar{a}_2, \bar{g}), \quad W \in K^{(3)} \quad (2)$$

Задача (2) являється задачею математичного програмування, для розв'язання якої необхідно побудувати і описати множину допустимих рішень $K^{(3)}$ і вказати метод пошуку W^* на цій множині.

Розв'язання цих питань може бути одержано на основі вектор-функцій щільного розміщення фігур і їх годографів.

Основою для побудови областей допустимих розв'язків у всіх сформульованій задачі являються умови взаємного неперетину фігур в укладці.

Алгоритм пошуку щільних укладок

1. Перевіряємо на опуклість многокутника;
2. Обчислюємо площу многокутника;
3. Розраховуємо координати вершин графа Γ_{11} вектор-функції щільного розміщення двох однакових і однаково орієнтованих многокутників S ;
4. Розраховуємо координати вершин графа Γ_{12} вектор-функції щільного розміщення двох однакових многокутників $S(0)$ і $S(\pi)$;
5. Задаємо $i=1$, $t_i=0$, і обчислюємо стартові значення змінних j , k , u , v , а також стартові значення параметрів τ_j , τ_k , τ_u , τ_v .
6. Знаходимо інтервал допустимих значень параметрів $t_i, \tau_j, \tau_k, \tau_u, \tau_v$ в полі функціонування класу $K_{\theta n}$, де $t_i^0 \leq t_i \leq t_i^1$, $\tau_j^0 \leq \tau_j \leq \tau_j^1$, $\tau_k^0 \leq \tau_k \leq \tau_k^1$, $\tau_u^0 \leq \tau_u \leq \tau_u^1$, $\tau_v^0 \leq \tau_v \leq \tau_v^1$.
7. Обчислюємо коефіцієнти цільової функції $detW(\vec{a}, \vec{p}, \vec{g})$, яка є квадратичною функцією параметра $t_i=(t_i^0, t_i^1)$, де $t_i^0, t_i^1 \in [0,1]$.
8. Обчислюємо значення параметру t_i^p , яке відповідає критичній точці цільової функції.
9. Обчислюємо значення цільової функції $detW(\vec{a}, \vec{p}, \vec{g})$ в точках t_i^0, t_i^1 , та в точці t_i^p , якщо вона є внутрішньою точкою (t_i^0, t_i^1) ;
10. Визначаємо екстремум у класі $K_{\theta n}$, та заносимо у масив локальних екстремумів відповідні значення $i, j, u, t_i, \tau_j, \tau_u$, і $detW(\vec{a}, \vec{p}, \vec{g})$.
11. Перевіряємо $t_i^1=1, \tau_j^1=1, \tau_k^1=1, \tau_u^1=1, \tau_v^1=1$.
12. Ті з індексів i, j, k, u, v для яких відповідне значення параметру τ досягло одиниці, збільшуємо на одиницю, а параметр τ задаємо рівним нулю;
13. Якщо $i \leq n$, то переходимо на крок 6, інакше на крок 14; n – кількість вершин многокутника S .
14. В масиві локальних оптимумів, шляхом порівняння значень $detW(\vec{a}, \vec{p}, \vec{g})$, знаходимо глобальний оптимум і строку параметрів та відповідне значення цільової функції видаємо як розв'язок задачі.

Висновки

В роботі запропоновані методи та алгоритми для проєктування щільних укладок плоских геометричних об'єктів зі складною конфігурацією зовнішнього контуру, які реалізовані в програмний продукт.

Листинг программного продукта

```
unit UnMamonov;

interface

uses
  Windows, Messages, SysUtils, Classes, Graphics, Controls, Forms,
  Dialogs, Menus, ExtCtrls, Printers, StdCtrls, ComCtrls;

type
  TForm1 = class(TForm)
    MainMenu1: TMainMenu;
    File1: TMenuItem;
    Open1: TMenuItem;
    N1: TMenuItem;
    Exit1: TMenuItem;
    OpenDialog1: TOpenDialog;
    ScrollBox1: TScrollBox;
    Image2: TImage;
    Button1: TButton;
    Edit1: TEdit;
    PageControl1: TPageControl;
    TabSheet1: TTabSheet;
    TabSheet2: TTabSheet;
    Image3: TImage;
    TabSheet3: TTabSheet;
    Image4: TImage;
    Image1: TImage;
    TabSheet4: TTabSheet;
    Image5: TImage;
    GroupBox1: TGroupBox;
    Button3: TButton;
    Button4: TButton;
    RadioGroup1: TRadioGroup;
    RadioButton1: TRadioButton;
    RadioButton2: TRadioButton;
    TabSheet5: TTabSheet;
    ScrollBox2: TScrollBox;
    Button2: TButton;
```

```

Image6: TImage;
procedure Open1Click(Sender: TObject);
procedure Exit1Click(Sender: TObject);
procedure FormCreate(Sender: TObject);
procedure z(Sender: TObject; Button: TMouseButton;
  Shift: TShiftState; X, Y: Integer);
procedure Button1Click(Sender: TObject);
procedure Button3Click(Sender: TObject);
procedure Button4Click(Sender: TObject);
procedure Button2Click(Sender: TObject);

```

```

private
  { Private declarations }
public
  { Public declarations }
end;

```

```

var
  Form1: TForm1;

```

implementation

```

{$R *.dfm}
type mas=array[0..100] of real;
  mas1=array[1..40] of mas;
  mas2=array[0..100] of int64;
  mas3=array[1..40] of mas2;
var x,y:mas1;
// dl_det,sh_det:mas;
  model:string[40];
  numdet,koldet,imin,Nob,q,ng:integer;
  namedet:array[1..40] of string[20];
  nn,kolpointdet:array[1..40] of integer;
  xm,ym:mas3;
  Xob,Yob,XobR,YobR:mas2;
  xc,yc,dl,sh,Most,XaR,YaR,XbR,YbR,XaF,YaF,XbF,YbF:int64;
  xcdet,ycdet,dl_det,sh_det: array[1..40] of int64;
// Sh,Dl,Most:int64;
  i:word;
  mmxy,mxy,mx,dl_dt,sh_dt,Pr_Isp:real;

```

```

PrBTN2,prBTN3,PrBTN4,PrBTN5,Prmouse,Pr_L,Pr_R:Boolean ;
xq,yq: integer;

```

```

Procedure Skv(n:integer; Var x,y:array of Int64; Var s:Int64);
Var i:integer;
Begin
  s:=0;
  For i:=0 to n-2 do
    s:=s+x[i]*y[i+1]-x[i+1]*y[i];
    s:=Round(abs(s)/2)
  End;

```

```

Procedure SCALE(xmax,xmin,ymax,ymin:int64;sh,dl:word; var mxy:real);
var Rsh,Rdl:int64;mx:real;
begin
  Rsh:=xmax-xmin;
  Rdl:=ymax-ymin;
  mx:=(sh-10)/Rsh;
  mxy:=(dl-10)/Rdl;
  If mx<mxy then mxy:=mx;
end;

```

```

Procedure SCALE_image2(var mxy:real);
var Rsh,Rdl:real;mx:real;
begin
  Rsh:=sh_dt;
  Rdl:=dl_dt;
  mx:=40/Rsh;
  mxy:=40/Rdl;
  If mx<mxy then mxy:=mx;
end;

```

```

procedure Graph(col:integer;mmxy:real; n:word; mxy:real; xm,ym:array of int64;
k:byte; xc,yc:integer);
var Xr,Yr:array[0..100] of integer; i:word;
Begin
for i:=0 to n-1 do {Перераховуємо реальні координати в екоанні} begin

```

```

xr[i]:=round(xm[i]*mmxy+xc);
yr[i]:=round(ym[i]*mmxy+yc);
end;
with form1.image1.canvas do begin
case col of
1: pen.Color:=ClRed; {Встановлюємо колір пера}
2: pen.Color:=ClBlack;
3: pen.Color:=ClGray;
4: pen.Color:=ClYellow;
5: pen.Color:=ClPurple;
6: pen.Color:=ClSilver;
7: pen.Color:=ClGreen;
8: pen.Color:=ClAqua;
9: pen.Color:=ClBlue;
10: pen.Color:=ClFuchsia;
11: pen.Color:=ClTeal;
12: pen.Color:=ClNavy;
13: pen.Color:=ClMaroon;
14: pen.Color:=ClOlive
else pen.Color:=TColor(RGB(255,128,64));
end;
for i:=0 to n-1 do
if i=0 then moveto(xr[i],yr[i]) else lineto(xr[i],yr[i]); {Рисуємо контури деталі}
end;
End;

```

```

Procedure GrdM(n:integer; Var xr,yr:array of Int64;
dxc,dyc,color:integer; dx,dy:Int64;pr:integer);
Var i:integer;
xp,yp:array[0..200] of integer;
Begin
for i:=0 to n-1 do
begin
xp[i]:=round((xr[i]*pr+dx)*mxy)+dxc;
yp[i]:=round((dy+yr[i]*pr)*mxy)+dyc;
end;
With Form1.Image1,Canvas Do
begin
If pr=1 then Pen.Color:=ClFuchsia{ClGreen}
else Pen.Color:=ClLime;

```

```

    Pen.Mode:=pmXOR;
    MoveTo(xp[0],yp[0]);
    for i:=1 to n-1 do
    LineTo(xp[i],yp[i]);
    end;
End;

```

```

procedure maxmin(var kd: integer;kpd:integer;x:array of int64;var
xi:int64;p:integer);
var i:word;
begin
for i:=0 to kpd-1 do begin
if i=0 then begin
xi:=x[i];
kd:=i;
end
else begin
if x[i]*p>xi*p then begin
xi:=x[i];
kd:=i;
end;
end;
end;
end;
end;

```

```

procedure XcYc(n:integer;x,y: array of int64; var xc,yc:int64);
var nxi:integer; xi,xex,yi,ye:int64;
begin
maxmin(nxi,n,x,xi,-1);
maxmin(nxi,n,y,yi,-1);
maxmin(nxi,n,x,xex,1);
maxmin(nxi,n,y,ye,1);
xc:=round((xi+xex)/2);
yc:=round((yi+Ye)/2);
end;

```

```

Procedure Obxod(n:integer; Var x,y:array of Int64);
Var k,i,nxi,nxe,nyi,nye:integer;
xr,yr:mas2;
xi,yi,xex,ye:Int64;

```



```

    pr:boolean;
Begin
    k:=1;
    MaxMin(nye,n,y,ye,k);
    MaxMin(nxe,n,x,x,k);
    k:=-1;
    MaxMin(nyi,n,y,yi,k);
    MaxMin(nxi,n,x,xi,k);
    pr:=(nxi<=nyi)and(nyi<=nxe)and(nxe<=nye);
    if not pr then
        for i:=n-1 downto 0 do
            begin
                xr[n-i-1]:=x[i];
                yr[n-i-1]:=y[i];
            end;
        for i:=0 to n-1 do
            begin
                x[i]:=xr[i];
                y[i]:=yr[i];
            end;
        End;

```

```

procedure TForm1.Open1Click(Sender: TObject);

```

```

    procedure vvod;
    var f:system.text;
    filename:string;
    xi,yi,x,ye,xmax,ymax,xmin,ymin:int64;
    i,j:word;
    nxi:integer;
    xrab,yrab:real;
    A:string;
    begin
        if opendialog1.execute then
            begin
                filename:=opendialog1.filename;
                system.Assign(f,filename);
                reset(f);
                readln(f,model);
                caption:='модель'+model;
                readln(f,a);
            end;

```

```

readln(f,koldet);
for i:=1 to koldet do
  readln(f,namedet[i]);
  for i:=1 to koldet do
    begin
      readln(f,kolpointdet[i]);
      nn[i]:=kolpointdet[i];
      end;
  for i:=1 to koldet do
    begin
      for j:=0 to nn[i]-1 do
        begin
          readln(f,xrab,yrab);
          if kolpointdet[i]<>nn[i] then continue;
          if (xrab=999)and (yrab=999) then
            begin
              kolpointdet[i]:=j;
              continue
            end;
          xm[i,j]:=round(xrab*100);
          ym[i,j]:=round(yrab*100);

          end;
          nn[i]:=kolpointdet[i];
          end;
          for i:=1 to koldet do begin

maxmin(nxi,kolpointdet[i],xm[i],xi,-1);
maxmin(nxi,kolpointdet[i],ym[i],yi,-1);
maxmin(nxi,kolpointdet[i],xm[i],xe,1);
maxmin(nxi,kolpointdet[i],ym[i],ye,1);
dl_det[i]:=xe-xi;
sh_det[i]:=ye-yi;
if i=1 then begin
dl_dt:=dl_det[i];
sh_dt:=sh_det[i];
end
else
begin
  if dl_dt<dl_det[i] then dl_dt:=dl_det[i];
  if sh_dt<sh_det[i] then sh_dt:=sh_det[i];
end;
end;

```

```

if i=1 then
  begin
    xmax:=xe;
    ymax:=ye;
    xmin:=xi;
    ymin:=yi;
    xcdet[1]:=round((xe+xi)/2);
    ycdet[1]:=round((ye+yi)/2);

  end
else
  begin
    xcdet[I]:=round((xe+xi)/2);
    ycdet[I]:=round((ye+yi)/2);
    // D1Det[i]:=Xe-Xi;
    // ShDet[i]:=Ye-Ye;
    if xmax<xe then xmax:=xe;
    if ymax<ye then ymax:=ye;
    if xmin>xi then xmin:=xi;
    if ymin>yi then ymin:=yi;
  end
  end; end;
  xc:=round((xmax+xmin)/2);
  yc:=round((ymax+ymin)/2);
  dl:=xmax-xmin;
  sh:=ymax-ymin;
for i:=1 to koldet do
  begin
    for j:=0 to kolpointdet[i]-1 do
      begin
        xm[i,j]:=xm[i,j]-xcdet[i];
        ym[i,j]:=ym[i,j]-ycdet[i];
      end;
    {
      xcdet[i]:=xcdet[i]+xc;
      ycdet[i]:=ycdet[i]+yc;}
    SCALE(xmax,xmin,ymax,ymin,image1.Width,image1.height, mxy);

    Obxod(KolPointDet[i],xm[i],ym[i]);
  end ;
  system.Close(f);
end;

```

```

begin
  TabSheet1.Visible:=True;
  TabSheet2.Visible:=True;
  TabSheet3.Visible:=True;
  TabSheet4.Visible:=True;
  TabSheet1.TabVisible:=True;
  TabSheet2.TabVisible:=True;
  TabSheet3.TabVisible:=True;
  TabSheet4.TabVisible:=True;
  vvod;
  ScrollBox1.Visible:=true;
  With form1.Image2.Canvas do
begin
  pen.Color:=clred;
  form1.Image2.Height:=koldet*55+10;
  scale_image2(mmxy);
  for i:=1 to koldet do begin
  XcYc(kolpointdet[i],xm[i],ym[i],xc,yc);

  Rectangle(5,5+55*(i-1),55,50+55*(i-1)) ;
  Graph_im2(i,mmxy,kolpointdet[i], xm[i],ym[i], 27,round(27+55*(i-1)),xc,yc);
  end;
  end;

  end;

  procedure scale_im2(var mx:real);
  var my:real ;
  begin
  mx:=form1.Image2.Width/dl_dt ;
  my:=form1.Image2.Height/sh_dt ;
  if mx>my then mx:=my;

  end;

  Procedure VipDet(n:integer; x,y:array of Int64; Var Xob,Yob:array of Int64;
  Var Nob:integer);
  Var
  i,l,m,p,q:integer;
  delta:real;

```

```

    pr:boolean;
Begin
    p:=0;
    Xob[p]:=X[0];
    Yob[p]:=Y[0];
    Nob:=n;
Repeat
    i:=0;
    m:=2; l:=1;
    pr:=true;

Repeat
    delta:=(y[i+m]-y[i])*(x[i+L]-x[i])-
            (y[i+L]-y[i])*(x[i+m]-x[i]);
    if delta<=0 then
        begin
            pr:=false;
            q:=i+m;
            m:=m+1;
            L:=L+1;
//            q:=i+m;
        end
    else
        begin
            p:=p+1;
            q:=i+m+1;
            Xob[p]:=X[i+L];
            Yob[p]:=Y[i+L];
            i:=i+L;
//            q:=i+m;
            m:=2;
            L:=1

        end;
    Until q>Nob-1;
    Xob[p+1]:=X[0];
    Yob[p+1]:=Y[0];
    Nob:=p+2;
    p:=0;
    For i:=0 to Nob-1 do
        begin
            X[i]:=Xob[i];

```

```

    Y[i]:=Yob[i];
end;
Until pr;

```

End;

Procedure ForDet(n,ni:integer; Var x,y,xn,yn:array of Int64);

```

    Var i,k:integer;
    begin
        k:=n-ni-1;
        for i:=0 to k do
            begin
                xn[i]:=x[ni+i];
                yn[i]:=y[ni+i]
            end;
            for i:=0 to ni do
                begin
                    xn[k+i]:=x[i];
                    yn[k+i]:=y[i]
                end;
            end;
        end;
    end;

```

*Procedure GodVip(nn,nv:integer; Var xn,yn,xv,yv,
 xg,yg:array of Int64; Var k:integer);*

```

    Var i,j:integer;
        s:real;
    begin
        { writeln(nn:4,nv:4,xn[1]:5,yn[1]:5,xv[1]:5,yv[1]:5);}
        i:=0;
        j:=0;
        k:=-1;
        xn[nn]:=xn[1];
        yn[nn]:=yn[1];
        xv[nv]:=xv[1];
        yv[nv]:=yv[1];
        xn[nn+1]:=xn[2];
        yn[nn+1]:=yn[2];
        xv[nv+1]:=xv[2];
        yv[nv+1]:=yv[2];

        repeat
            k:=k+1;

```

```

    xg[k]:=xv[i]-xn[j];
    yg[k]:=yv[i]-yn[j];
    s:=(xn[j]-xn[j+1])*(yv[i+1]-yv[i])-
      (yn[j]-yn[j+1])*(xv[i+1]-xv[i]);
      if s<=0 then i:=i+1
      else j:=j+1;
{    writeln(k:3,xg[k]:7:2,yg[k]:7:2);
  readln;          }
  until ((k>nn-1) and (xg[0]=xg[k]) and
    (k>nv-1) and (yg[0]=yg[k]));
    k:=k+1
end;

```

```

procedure TForm1.Exit1Click(Sender: TObject);
begin
close;
end;

```

```

procedure TForm1.FormCreate(Sender: TObject);
var i:Integer ;
begin
PageControl1.ActivePage:=TabSheet5;
Prmouse:=False;
PrBTN2 :=False ;
PrBTN3 :=False ;
PrBTN4 :=False ;
// Image2.Height:=2000;
form1.Height :=600;
form1.Width :=800;
form1.Left :=0;
form1.Top :=0;
q:=-1;

end;

```

```

procedure TForm1.z(Sender: TObject; Button: TMouseButton;
  Shift: TShiftState; X, Y: Integer);

```

```
var nxi,ni,ne,i,j:integer; xc,yc,xi,xs,yi,ys:int64;
xr,yr,xrp,yrp,xn,yn,xg,yg:mas2;
```

```
function SETnumberDet(xcur,ycur:integer):integer;
var i:integer;
```

```
begin
```

```
  Edit1.Visible:=true;
```

```
  //Image2.Height:=2000;
```

```
  for i:=1 to koldet do
```

```
    if (xcur>5) and (xcur<55) and (ycur>5*i+50*(i-1)) and (ycur<55*i) then
```

```
      begin
```

```
        SETnumberDet:=i;
```

```
        break;
```

```
      end;
```

```
    end;
```

```
Begin
```

```
PageControl1.Visible:=True;
```

```
GroupBox1.Visible:=True;
```

```
RadioGroup1.Visible:=True;
```

```
RadioButton1.Visible:=True;
```

```
RadioButton2.Visible:=True;
```

```
{If button=MbLeft then
```

```
  with image2 do
```

```
    begin
```

```
      numDET:=SETnumberDet(x,y);
```

```
      Edit1.Text:=namedet[numDET];
```

```
      SCALE(round(dl_det[numDet]/2),round(-
dl_det[numDet]/2),round(sh_det[numDet]/2),round(-
sh_det[numDet]/2),image1.Height-50,image1.Width-50, mxy);
```

```
      with image1.Canvas do
```

```
        begin
```

```
          pen.Color:=ClWhite;
```

```
          brush.Color:=ClWhite;
```

```
          brush.Style:=BsSolid;
```

```
          rectangle(0,0,image1.Width,image1.Height);
```

```
          i:=numdet ;
```

```
          XcYc(kolpointdet[numdet],xm[numdet],ym[numdet],xc,yc);
```

```
Graph_im1(numdet,mxy,kolpointdet[numdet],xm[numdet],ym[numdet],round(image1
.Width/2),round(image1.Height/2), xc,yc);
```

```
end;
```



```

end
else
begin }
  with image2 do
    begin
      numDET:=SETnumberDet(x,y);
      end;
      Edit1.Text:=namedet[numDET];
      SCALE(round(dl_det[numDet]/2),round(-
dl_det[numDet]/2),round(sh_det[numDet]/2),round(-
sh_det[numDet]/2),image1.Height-50,image1.Width-50, mxy);
      with image1.Canvas do
        begin
          pen.Color:=ClWhite;
          brush.Color:=ClWhite;
          brush.Style:=BsSolid;
          rectangle(0,0,image1.Width,image1.Height);
          i:=numdet ;
          XcYc(kolpointdet[numdet],xm[numdet],ym[numdet],xc,yc);
          maxmin(nxi,kolpointdet[numdet],xm[numdet],xi,-1);
          ForDet(kolpointdet[numdet],nxi,xm[numdet],ym[numdet],XobR,YobR);
          VipDet(kolpointdet[numdet],XobR,Yobr,Xob,Yob,Nob);
          VipDet(Nob,Xob,Yob,Xob,Yob,Nob);
          XcYc(kolpointdet[numdet],xm[numdet],ym[numdet],xc,yc);
          For i:=0 to kolpointdet[numdet]-1 do
            begin
              xm[numdet,i]:=xm[numdet,i]-xc;
              ym[numdet,i]:=ym[numdet,i]-yc;
            end;
            For i:=0 to Nob-1 do
              begin
                Xob[i]:=Xob[i]-Xc;
                Yob[i]:=Yob[i]-Yc;
              end;
              XcYc(kolpointdet[numdet],xm[numdet],ym[numdet],xc,yc);

Graph_im1(numdet,mxy,kolpointdet[numdet],xm[numdet],ym[numdet],round(image1
.Width/2),round(image1.Height/2), xc,yc);

Graph_im1(2,mxy,Nob,Xob,Yob,round(image1.Width/2),round(image1.Height/2),
xc,yc);
end;

```

```

with image3.Canvas do
begin
pen.Color:=ClWhite;
brush.Color:=ClWhite;
brush.Style:=BsSolid;
rectangle(0,0,image3.Width,image3.Height);
i:=numdet ;
// XcYc(kolpointdet[numdet],xm[numdet],ym[numdet],xc,yc);

Graph_im3(numdet,mxy/4,kolpointdet[numdet],xm[numdet],ym[numdet],round(image1.Width/2),round(image1.Height/2), xc,yc);

MaxMin(ni,Nob,Xob,xi,-1);
ForDet(Nob,ni,Xob,Yob,xr,yr);
MaxMin(ne,Nob,xr,xn,1);
ForDet(Nob,ne,xr,yr,xn,yn);
GodVip(Nob,Nob,xr,yr,xn,yn,xg,yg,ng);
// XcYc(ng,xg,yg,xc,yc);
Graph_im3(2,mxy/4,ng,xg,yg,round(image1.Width/2),round(image1.Height/2),
xc,yc);
for i:=0 to ng-1 do
begin
for j:=0 to kolpointdet[numdet]-1 do
begin
xr[j]:=xm[numdet,j]+xg[i];
yr[j]:=ym[numdet,j]+yg[i];
end;
// XcYc(kolpointdet[numdet],xm[numdet],ym[numdet],xc,yc);

Graph_im3(1,mxy/4,kolpointdet[numdet],xr,yr,round(image1.Width/2),round(image1.Height/2), xc,yc);

end;
end;

with image4.Canvas do
begin
pen.Color:=ClWhite;
brush.Color:=ClWhite;
brush.Style:=BsSolid;

```

```

    rectangle(0,0,image4.Width,image4.Height);
    { pen.Color:=ClRed;
      ellipse(40,40,80,80);}
    i:=numdet ;
    // XcYc(kolpointdet[numdet],xm[numdet],ym[numdet],xc,yc);

Graph_im4(numdet,mxy/4,kolpointdet[numdet],xm[numdet],ym[numdet],round(image1.Width/2),round(image1.Height/2), xc,yc);
    MaxMin(ni,Nob,Xob,xi,-1);
    ForDet(Nob,ni,Xob,Yob,xr,yr);
    For i:=0 to Nob-1 do
      begin
        xrp[i]:=-xr[i];
        yrp[i]:=-yr[i];
      end;
    MaxMin(ne,Nob,xrp,xe,1);
    ForDet(Nob,ne,xrp,yrp,xn,yn);
    GodVip(Nob,Nob,xn,yn,xr,yr,xg,yg,ng);
    // XcYc(ng,xg,yg,xc,yc);
    Graph_im4(2,mxy/4,ng,xg,yg,round(image1.Width/2),round(image1.Height/2),
xc,yc);
    for i:=0 to ng-1 do
      begin
        for j:=0 to kolpointdet[numdet]-1 do
          begin
            xr[j]:=-xm[numdet,j]+xg[i];
            yr[j]:=-ym[numdet,j]+yg[i];
          end;
        // XcYc(kolpointdet[numdet],xm[numdet],ym[numdet],xc,yc);

Graph_im4(1,mxy/4,kolpointdet[numdet],xr,yr,round(image1.Width/2),round(image1.Height/2), xc,yc);
    end;
    end;
    with image5.Canvas do
      begin
        pen.Color:=ClWhite;
        brush.Color:=ClWhite;
        brush.Style:=BsSolid;
        rectangle(0,0,image5.Width,image5.Height);
      end

```

end;

```

procedure TForm1.Button1Click(Sender: TObject);
begin
close ;
end;
(*
{Малює еліпс в вершинах прямокутника}
procedure ellips(r,n:integer;x,y:array of int64; xc,yc,xcIm,ycIm:int64;mxy:real);
  var i:integer; xe,ye:int64;
  begin
  with form1.image1.Canvas do
  begin
  pen.color:=ClRed;
  for i:=0 to n-1 do
  begin
  xe:=round((x[i]-xc)*mxy+xcIm);
  ye:=round((y[i]-yc)*mxy+ycIm);
  ellipse(xe-r,ye-r, xe+r,ye+r);
  end;
  end;
end;
end;

```

```

procedure ellipsDEL(r,n1,n:integer;x,y:array of int64;
xc,yc,xcIm,ycIm:int64;mxy:real);
  var i:integer; xe,ye:int64;
  begin
  with form1.image1.Canvas do
  begin
  pen.color:=ClWhite;
  xe:=round((x[n1]-xc)*mxy+xcIm);
  ye:=round((y[n1]-yc)*mxy+ycIm);
  ellipse(xe-r,ye-r, xe+r,ye+r);
  end;
end;*)


```

```

procedure ellipsONE(r:integer;x,y:int64; xc,yc,xcIm,ycIm:int64;mxy:real);
  var i:integer; xe,ye:int64;
  begin

```

```

with form1.image1.Canvas do
begin
pen.color:=ClRed;
xe:=round((x-xc)*mxy+xcIm);
ye:=round((y-yc)*mxy+ycIm);
ellipse(xe-r,ye-r, xe+r,ye+r);
end;

```

end;

```

procedure ellipsONE5(r:integer;x,y:int64; xc,yc,xcIm,ycIm:int64;mxy:real);
var i:integer; xe,ye:int64;
begin
with form1.image5.Canvas do
begin
pen.color:=ClRed;
xe:=round((x-xc)*mxy+xcIm);
ye:=round((y-yc)*mxy+ycIm);
ellipse(xe-r,ye-r, xe+r,ye+r);
end;

```

end;

```

Function PointCrossTwoLine(Xa,Ya,Xb,Yb,Xc,Yc,Xd,Yd:Int64; var
x0,y0:Int64):boolean;
Var A1,B1,C1,A2,B2,C2,Ra,Rb,Rc,Rd,Rab,Rcd,D1,D2,D0:Int64;
i:integer;
B:boolean;

```

```

Begin
PointCrossTwoLine:=False;
A1:=ya-yb;
B1:=xb-xa;
C1:=yb*(xa-xb)-xb*(ya-yb);
A2:=yc-yd;
B2:=xd-xc;
C2:=yd*(xc-xd)-xd*(yc-yd);
Ra:=A2*Xa+B2*Ya+C2;
Rb:=A2*Xb+B2*Yb+C2;
Rc:=A1*Xc+B1*Yc+C1;

```

```

Rd:=A1*Xd+B1*Yd+C1;
Rab:=Ra*Rb;
Rcd:=Rc*Rd;
B:=((Rcd<0)and(Rab<0))or((Rcd<0)and(Rab=0))or((Rcd=0)and(Rab<0));
If B then
begin
  PointCrossTwoLine:=True;
  D0:=A1*B2-A2*B1;
  D1:=C2*B1-C1*b2;
  D2:=C1*A2-C2*A1;
  X0:=Round(D1/D0);
  Y0:=Round(D2/D0);
end;
End;

```

```

procedure TForm1.Button3Click(Sender: TObject);
var nxi,ni,ne,i,j,p,ng,ngp,ngp:integer; xc,yc,xc1,yc1,xi,xe,yi,ye,x0,y0:int64;
    xr,yr,xn,yn,xg,yg,xpg,ypg,xgp,ygp,yp,yp,xrp,yrp,xrr,yrr:mas2;
    Spar,SDet,Ykl:real;
begin
  p:=0;
  q:=q+1;
  If q>=ng-1 then q:=0;
  with image5.Canvas do
  begin
    pen.Color:=ClWhite;
    brush.Color:=ClWhite;
    brush.Style:=BsSolid;
    rectangle(0,0,image5.Width,image5.Height);
    XcYc(kolpointdet[numdet],xm[numdet],ym[numdet],xc,yc);

    Graph_im5(numdet,mxy/4,kolpointdet[numdet],xm[numdet],ym[numdet],round(image5.Width/2),round(image5.Height/2), xc,yc);
    maxmin(nxi,kolpointdet[numdet],xm[numdet],xi,-1);
    ForDet(kolpointdet[numdet],nxi,xm[numdet],ym[numdet],XobR,YobR);
    VipDet(kolpointdet[numdet],XobR,Yobr,Xob,Yob,Nob);
    VipDet(Nob,Xob,Yob,Xob,Yob,Nob);
    MaxMin(ni,Nob,Xob,xi,-1);
    ForDet(Nob,ni,Xob,Yob,xr,yr);
    MaxMin(ne,Nob,xr,xe,1);

```

```

    ForDet(Nob,ne,xr,yr,xn,yn);
    GodVip(Nob,Nob,xr,yr,xn,yn,xg,yg,ng);
for j:=0 to kolpointdet[numdet]-1 do
    begin
        xrr[j]:=xm[numdet,j]+xg[q];
        yrr[j]:=ym[numdet,j]+yg[q];
    end;
//
Graph_im5(16,mxy/4,ng,xgp,ygp,round(image5.Width/2),round(image5.Height/2),
xc,yc);
    Graph_im5(numdet,mxy/4,kolpointdet[numdet],xrr,yrr,round(image5.Width
/2),round(image5.Height/2), xc,yc);

    If RadioButton1.Checked then
        begin
// XcYc(ng,xg,yg,xc1,yc1);
        Graph_im5(1,mxy/4,ng,xg,yg,round(image5.Width/2),round(image5.Height/2),
xc,yc);
        for j:=0 to ng-1 do
            begin
                xgp[j]:=xg[j]+xg[q];
                ygp[j]:=yg[j]+yg[q];
            end;
        { for j:=0 to kolpointdet[numdet]-1 do
            begin
                xr[j]:=xm[numdet,j]+xg[q];
                yr[j]:=ym[numdet,j]+yg[q];
            end; }
        Graph_im5(2,mxy/4,ng,xgp,ygp,round(image5.Width/2),round(image5.Height/2),
xc,yc);

// XcYc(kolpointdet[numdet],xm[numdet],ym[numdet],xc,yc);
// Graph_im5(numdet,mxy/4,kolpointdet[numdet],xr,yr,round(image5.Width
/2),round(image5.Height/2), xc,yc);
        For i:=0 to ng-2 do
            For j:=0 to ng-2 do
                begin
                    if
PointCrossTwoLine(Xg[i],Yg[i],Xg[i+1],Yg[i+1],Xgp[j],Ygp[j],Xgp[j+1],Ygp[j+1],
x0,y0) then
                        begin
                            p:=p+1;

```

```

        xp[p]:=x0;
        yp[p]:=y0;
    end
end;
For i:=1 to p do
begin

ellipsONE5(2,xp[i],yp[i],xc,yc,round(image5.Width/2),round(image5.Height/2),mxy/4
);
    end ;
    ellipsONE5(2,0,0,xc,yc,round(image5.Width/2),round(image5.Height/2),mxy/4);

ellipsONE5(2,xg[q],yg[q],xc,yc,round(image5.Width/2),round(image5.Height/2),mxy/4);

    Pen.Color:=ClBlue;
    MoveTo(round(Xc*mxy/4+image5.Width/2),round(Yc*mxy/4+image5.Height/2));

    LineTo(round((Xp[2]+Xc)*mxy/4+image5.Width/2),round((Yp[2]+Yc)*mxy/4+image
5.Height/2));

    LineTo(round((Xg[q]+Xc)*mxy/4+image5.Width/2),round((Yg[q]+Yc)*mxy/4+image
5.Height/2));

    LineTo(round((Xp[1]+Xc)*mxy/4+image5.Width/2),round((Yp[1]+Yc)*mxy/4+image
5.Height/2));
        LineTo(round(Xc*mxy/4+image5.Width/2),round(Yc*mxy/4+image5.Height/2));

    Spar:=Abs(Xp[1]*Yp[2]-Xp[2]*Yp[1])/100000000;
    (* Sdet:=0;
    for i:=0 to kolpointdet[numdet]-2 do
        Sdet:=Sdet+xm[numdet,i]*ym[numdet,i+1]-ym[numdet,i]*xm[numdet,i+1];
        Sdet:=abs(Sdet/200000000);
        Ykl:= Sdet/Spar*100;
        Font.Name:='Ariel';
        Font.Size:=10;
    {   Font.Style:=[fsBold];,fsItalic];}
        Font.Color:=clBlack;
        TextOut(image5.Width-250,20,'Щільність
укладки='+FloatToStrF(Ykl,ffFixed,6,2)+'%');
        TextOut(image5.Width-250,40,'Площа
деталі='+FloatToStrF(SDet,ffFixed,6,2)+' кв.дм');

```



```
TextOut(image5.Width-250,60,'Площа
паралелограму='+FloatToStrF(Spar,ffFixed,6,2)+' кв.дм');*)
```

```
for j:=0 to kolpointdet[numdet]-1 do
begin
xr[j]:=xm[numdet,j]+xp[1];
yr[j]:=ym[numdet,j]+yp[1];
end;
```

```
Graph_im5(numdet,mxy/4,kolpointdet[numdet],xr,yr,round(image5.Width/2),round(i
mage5.Height/2), xc,yc);
```

```
for j:=0 to kolpointdet[numdet]-1 do
begin
xr[j]:=xm[numdet,j]+xp[2];
yr[j]:=ym[numdet,j]+yp[2];
end;
```

```
Graph_im5(numdet,mxy/4,kolpointdet[numdet],xr,yr,round(image5.Width/2),round(i
mage5.Height/2), xc,yc);
```

```
// for j:=0 to kolpointdet[numdet]-1 do
end
```

```
else
```

```
begin
```

```
For i:=0 to Nob-1 do
```

```
begin
```

```
xrp[i]:=-xr[i];
```

```
yrp[i]:=-yr[i];
```

```
end;
```

```
MaxMin(ne,Nob,xrp,xe,1);
```

```
ForDet(Nob,ne,xrp,yrp,xn,yn);
```

```
GodVip(Nob,Nob,xn,yn,xr,yr,xpg,ypg,npg);
```

```
for j:=0 to npg-1 do
```

```
begin
```

```
xgp[j]:=xpg[j]+xg[q];
```

```
ygp[j]:=ypg[j]+yg[q];
```

```
end;
```

```
For i:=0 to npg-2 do
```

```
For j:=0 to npg-2 do
```

```
begin
```

```
if
```

```
PointCrossTwoLine(Xpg[i],Ypg[i],Xpg[i+1],Ypg[i+1],Xgp[j],Ygp[j],Xgp[j+1],Ygp[j
+1], x0,y0) then
```

```

begin
  p:=p+1;
  xp[p]:=x0;
  yp[p]:=y0;
end
end;
Spar:=Abs((Xp[2]-Xp[1])*Yg[q]-Xg[q]*(Yp[2]-Yp[1]))/200000000;
for j:=0 to kolpointdet[numdet]-1 do
begin
  xr[j]:=-xm[numdet,j]+xp[1];
  yr[j]:=-ym[numdet,j]+yp[1];
end;

Graph_im5(1,mxy/4,kolpointdet[numdet],xr,yr,round(image5.Width/2),round(image5.
Height/2), xc,yc);
for j:=0 to kolpointdet[numdet]-1 do
begin
  xr[j]:=-xm[numdet,j]+xp[2];
  yr[j]:=-ym[numdet,j]+yp[2];
end;

Graph_im5(1,mxy/4,kolpointdet[numdet],xr,yr,round(image5.Width/2),round(image5.
Height/2), xc,yc);
// for j:=0 to kolpointdet[numdet]-1 do

// XcYc(ng,xg,yg,xc,yc);

for j:=0 to kolpointdet[numdet]-1 do
begin
  xrr[j]:=-xm[numdet,j]+xg[q]+xp[1];
  yrr[j]:=-ym[numdet,j]+yg[q]+yp[1];
end;

Graph_im5(1,mxy/4,kolpointdet[numdet],xrr,yrr,round(image5.Width
/2),round(image5.Height/2), xc,yc);

for j:=0 to kolpointdet[numdet]-1 do
begin
  xrr[j]:=-xm[numdet,j]+xg[q]+xp[2];
  yrr[j]:=-ym[numdet,j]+yg[q]+yp[2];
end;

```

```

//
Graph_im5(16,mxy/4,ng,xgp,ygp,round(image5.Width/2),round(image5.Height/2),
xc,yc);
    Graph_im5(1,mxy/4,kolpointdet[numdet],xrr,yrr,round(image5.Width
/2),round(image5.Height/2), xc,yc);
    For i:=1 to p do
        begin

ellipsONE5(2,xp[i],yp[i],xc,yc,round(image5.Width/2),round(image5.Height/2),mxy/4
);

ellipsONE5(2,xp[i]+xg[q],yp[i]+yg[q],xc,yc,round(image5.Width/2),round(image5.
Height/2),mxy/4);
        end ;
Graph_im5(2,mxy/4,ng,xgp,ygp,round(image5.Width/2),round(image5.Height/2),
xc,yc);
Graph_im5(2,mxy/4,ng,xpg,ypg,round(image5.Width/2),round(image5.Height/2),
xc,yc);
    Pen.Color:=ClBlue;

MoveTo(round((Xp[1]+Xc)*mxy/4+image5.Width/2),round((Yp[1]+Yc)*mxy/4+imag
e5.Height/2));

LineTo(round((Xp[2]+Xc)*mxy/4+image5.Width/2),round((Yp[2]+Yc)*mxy/4+image
5.Height/2));

LineTo(round((Xp[2]+Xg[q]+Xc)*mxy/4+image5.Width/2),round((Yp[2]+Yg[q]+Yc
)*mxy/4+image5.Height/2));

LineTo(round((Xp[1]+Xg[q]+Xc)*mxy/4+image5.Width/2),round((Yp[1]+Yg[q]+Yc
)*mxy/4+image5.Height/2));

LineTo(round((Xp[1]+Xc)*mxy/4+image5.Width/2),round((Yp[1]+Yc)*mxy/4+image
5.Height/2));

end;
Sdet:=0;
for i:=0 to kolpointdet[numdet]-2 do
    Sdet:=Sdet+xm[numdet,i]*ym[numdet,i+1]-ym[numdet,i]*xm[numdet,i+1];
    Sdet:=abs(Sdet/200000000);
    Ykl:= Sdet/Spar*100;
    Font.Name:='Ariel';

```

```

    Font.Size:=10;
{   Font.Style:=[fsBold];fsItalic];}
    Font.Color:=clBlack;
    TextOut(image5.Width-250,20,'Щільність
укладки='+FloatToStrF(Ykl,ffFixed,6,2)+'%');
    TextOut(image5.Width-250,40,'Площа
деталі='+FloatToStrF(SDet,ffFixed,6,2)+' кв.дм');
    TextOut(image5.Width-250,60,'Площа
паралелограму='+FloatToStrF(Spar,ffFixed,6,2)+' кв.дм');

end;
end;

procedure TForm1.Button4Click(Sender: TObject);
var nxi,ni,ne,i,j,p,q,qr,npq,ng:integer; xc,yc,xc1,yc1,xi,xe,yi,ye,x0,y0:int64;
    xr,yr,xn,yn,xg,yg,xgp,ygp,xp,yp,xpr,ypr,xrp,yrp,xpg,ypg,xrr,yrr:mas2;
    Spar,SDet,Ykl,Sp:real;
begin
    maxmin(nxi,kolpointdet[numdet],xm[numdet],xi,-1);
    ForDet(kolpointdet[numdet],nxi,xm[numdet],ym[numdet],XobR,YobR);
    VipDet(kolpointdet[numdet],XobR,Yobr,Xob,Yob,Nob);
    VipDet(Nob,Xob,Yob,Xob,Yob,Nob);
    MaxMin(ni,Nob,Xob,xi,-1);
    ForDet(Nob,ni,Xob,Yob,xr,yr);
    MaxMin(ne,Nob,xr,xe,1);
    ForDet(Nob,ne,xr,yr,xn,yn);
    GodVip(Nob,Nob,xr,yr,xn,yn,xg,yg,ng);

with image5.Canvas do
begin
    pen.Color:=ClWhite;
    brush.Color:=ClWhite;
    brush.Style:=BsSolid;
    rectangle(0,0,image5.Width,image5.Height);
// XcYc(ng,xg,yg,xc1,yc1);
    XcYc(kolpointdet[numdet],xm[numdet],ym[numdet],xc,yc);

Graph_im5(numdet,mxy/4,kolpointdet[numdet],xm[numdet],ym[numdet],round(imag
e5.Width/2),round(image5.Height/2), xc,yc);
If RadioButton1.Checked then
begin
    For q:=0 to ng-1 do

```

```

begin
  p:=0;
  for j:=0 to ng-1 do
    begin
      xgp[j]:=xg[j]+xg[q];
      ygp[j]:=yg[j]+yg[q];
    end;
  for j:=0 to kolpointdet[numdet]-1 do
    begin
      xr[j]:=xm[numdet,j]+xg[q];
      yr[j]:=ym[numdet,j]+yg[q];
    end;
  // XcYc(kolpointdet[numdet],xm[numdet],ym[numdet],xc,yc);
  For i:=0 to ng-2 do
    For j:=0 to ng-2 do
      begin
        if
          PointCrossTwoLine(Xg[i],Yg[i],Xg[i+1],Yg[i+1],Xgp[j],Ygp[j],Xgp[j+1],Ygp[j+1],
          x0,y0) then
          begin
            p:=p+1;
            xp[p]:=x0;
            yp[p]:=y0;
          end;
        end;
      Spar:=Abs((Xp[2]-Xp[1])*Yg[q]-Xg[q]*(Yp[2]-Yp[1]))/200000000;
      If q=0 then
        begin
          qr:=q;
          xpr:=Xp;
          ypr:=Yp;
          Sp:=Spar
        end
      else
        If Spar<Sp then
          begin
            qr:=q;
            xpr:=Xp;
            ypr:=Yp;
            Sp:=Spar
          end;
        end;
    end;
  end;
end;

```

```

// XcYc(kolpointdet[numdet],xm[numdet],ym[numdet],xc,yc);
// Graph_im1(1,mxy/4,ng,xg,yg,round(image1.Width/2),round(image1.Height/2),
xc1,yc1);
// Graph_im1(16,mxy/4,ng,xgp,ygp,round(image1.Width/2),round(image1.Height/2),
xc1,yc1);
  for j:=0 to kolpointdet[numdet]-1 do
    begin
      xr[j]:=xm[numdet,j]+xg[qr];
      yr[j]:=ym[numdet,j]+yg[qr];
    end;

Graph_im5(numdet,mxy/4,kolpointdet[numdet],xr,yr,round(image5.Width/2),round(i
mage5.Height/2), xc,yc);
  For i:=1 to p do
    begin

ellipsONE5(2,xpr[i],ypr[i],xc,yc,round(image5.Width/2),round(image5.Height/2),mxy
/4);
    end ;
    ellipsONE5(2,0,0,xc,yc,round(image5.Width/2),round(image5.Height/2),mxy/4);

ellipsONE5(2,xg[qr],yg[qr],xc,yc,round(image5.Width/2),round(image5.Height/2),mx
y/4);

    Pen.Color:=ClBlue;
    MoveTo(round(Xc*mxy/4+image5.Width/2),round(Yc*mxy/4+image5.Height/2));

    LineTo(round((Xpr[2]+Xc)*mxy/4+image5.Width/2),round((Ypr[2]+Yc)*mxy/4+ima
ge5.Height/2));

    LineTo(round((Xg[qr]+Xc)*mxy/4+image5.Width/2),round((Yg[qr]+Yc)*mxy/4+ima
ge5.Height/2));

    LineTo(round((Xpr[1]+Xc)*mxy/4+image5.Width/2),round((Ypr[1]+Yc)*mxy/4+ima
ge5.Height/2));
    LineTo(round(Xc*mxy/4+image5.Width/2),round(Yc*mxy/4+image5.Height/2));

    Spar:=Abs(Xpr[1]*Ypr[2]-Xpr[2]*Ypr[1])/100000000;

  for j:=0 to kolpointdet[numdet]-1 do
    begin

```

```

xr[j]:=xm[numdet,j]+xpr[1];
yr[j]:=ym[numdet,j]+ypr[1];
end;

```

```

Graph_im5(numdet,mxy/4,kolpointdet[numdet],xr,yr,round(image5.Width/2),round(i
mage5.Height/2), xc,yc);

```

```

for j:=0 to kolpointdet[numdet]-1 do
begin
xr[j]:=xm[numdet,j]+xpr[2];
yr[j]:=ym[numdet,j]+ypr[2];
end;

```

```

Graph_im5(numdet,mxy/4,kolpointdet[numdet],xr,yr,round(image5.Width/2),round(i
mage5.Height/2), xc,yc);

```

```

//for j:=0 to kolpointdet[numdet]-1 do
end
else
begin
// qr:=1;
{ For i:=0 to Nob-1 do
begin
xrp[i]:=-xr[i];
yrp[i]:=-yr[i];
end;
MaxMin(ne,Nob,xrp,xe,1);
ForDet(Nob,ne,xrp,yrp,xn,yn);
GodVip(Nob,Nob,xr,yr,xn,yn,xpg,ypg,npg);}

```

```

For i:=0 to Nob-1 do
begin
xrp[i]:=-xr[i];
yrp[i]:=-yr[i];
end;
MaxMin(ne,Nob,xrp,xe,1);
ForDet(Nob,ne,xrp,yrp,xn,yn);
GodVip(Nob,Nob,xn,yn,xr,yr,xpg,ypg,npg);
{ for j:=0 to npg-1 do
begin
xgp[j]:=xpg[j]+xg[q];
ygp[j]:=ypg[j]+yg[q];
end;}

```

```

For q:=0 to ng-1 do
  begin
    p:=0;
    for j:=0 to npg-1 do
      begin
        xgp[j]:=xpg[j]+xg[q];
        ygp[j]:=ypg[j]+yg[q];
      end;
    { for j:=0 to kolpointdet[numdet]-1 do
      begin
        xr[j]:=xm[numdet,j]+xg[q];
        yr[j]:=ym[numdet,j]+yg[q];
      end;}
    // XcYc(kolpointdet[numdet],xm[numdet],ym[numdet],xc,yc);

    For i:=0 to npg-2 do
      For j:=0 to npg-2 do
        begin
          if
            PointCrossTwoLine(Xpg[i],Ypg[i],Xpg[i+1],Ypg[i+1],Xgp[j],Ygp[j],Xgp[j+1],Ygp[j
            +1], x0,y0) then
            begin
              p:=p+1;
              xp[p]:=x0;
              yp[p]:=y0;
            end;
          end;

        // Spar:=Abs(Xp[1]*Yp[2]-Xp[2]*Yp[1])/100000000;
        Spar:=Abs((Xp[2]-Xp[1])*Yg[q]-Xg[q]*(Yp[2]-Yp[1]))/200000000;

        If q=0 then
          begin
            qr:=q;
            xpr:=Xp;
            ypr:=Yp;
            Sp:=Spar
          end
        else
          If Spar<Sp then
            begin
              qr:=q;

```



```

    xpr:=Xp;
    ypr:=Yp;
    Sp:=Spar
end;

```

```

end;
  for j:=0 to kolpointdet[numdet]-1 do
  begin
    xr[j]:=-xm[numdet,j]+xpr[1];
    yr[j]:=-ym[numdet,j]+ypr[1];
  end;

```

```

Graph_im5(1,mxy/4,kolpointdet[numdet],xr,yr,round(image5.Width/2),round(image5.
Height/2), xc,yc);

```

```

  for j:=0 to kolpointdet[numdet]-1 do
  begin
    xr[j]:=-xm[numdet,j]+xpr[2];
    yr[j]:=-ym[numdet,j]+ypr[2];
  end;

```

```

Graph_im5(1,mxy/4,kolpointdet[numdet],xr,yr,round(image5.Width/2),round(image5.
Height/2), xc,yc);

```

```

  // for j:=0 to kolpointdet[numdet]-1 do

```

```

  // XcYc(ng,xg,yg,xc,yc);

```

```

  for j:=0 to kolpointdet[numdet]-1 do
  begin
    xrr[j]:=-xm[numdet,j]+xg[qr]+xpr[1];
    yrr[j]:=-ym[numdet,j]+yg[qr]+ypr[1];
  end;

```

```

    Graph_im5(1,mxy/4,kolpointdet[numdet],xrr,yrr,round(image5.Width
/2),round(image5.Height/2), xc,yc);

```

```

  for j:=0 to kolpointdet[numdet]-1 do
  begin
    xrr[j]:=-xm[numdet,j]+xg[qr]+xpr[2];
    yrr[j]:=-ym[numdet,j]+yg[qr]+ypr[2];
  end;

```

```

//
Graph_im5(16,mxy/4,ng,xgp,ygp,round(image5.Width/2),round(image5.Height/2),
xc,yc);
    Graph_im5(1,mxy/4,kolpointdet[numdet],xrr,yrr,round(image5.Width
/2),round(image5.Height/2), xc,yc);
    Pen.Color:=ClBlue;

MoveTo(round((Xpr[1]+Xc)*mxy/4+image5.Width/2),round((Ypr[1]+Yc)*mxy/4+im
age5.Height/2));

LineTo(round((Xpr[2]+Xc)*mxy/4+image5.Width/2),round((Ypr[2]+Yc)*mxy/4+ima
ge5.Height/2));

LineTo(round((Xpr[2]+Xg[qr]+Xc)*mxy/4+image5.Width/2),round((Ypr[2]+Yg[qr]
+Yc)*mxy/4+image5.Height/2));

LineTo(round((Xpr[1]+Xg[qr]+Xc)*mxy/4+image5.Width/2),round((Ypr[1]+Yg[qr]
+Yc)*mxy/4+image5.Height/2));

LineTo(round((Xpr[1]+Xc)*mxy/4+image5.Width/2),round((Ypr[1]+Yc)*mxy/4+ima
ge5.Height/2));

end;
Sdet:=0;
for i:=0 to kolpointdet[numdet]-2 do
    Sdet:=Sdet+xm[numdet,i]*ym[numdet,i+1]-ym[numdet,i]*xm[numdet,i+1];
    Sdet:=abs(Sdet/200000000);
    Ykl:= Sdet/Sp*100;
    Font.Name:='Ariel';
    Font.Size:=10;
{    Font.Style:=[fsBold];,fsItalic];}
    Font.Color:=clBlack;
    TextOut(image5.Width-250,20,'Щільність
укладки='+FloatToStrF(Ykl,ffFixed,6,2)+'%');
    TextOut(image5.Width-250,40,'Площа
деталі='+FloatToStrF(SDet,ffFixed,6,2)+' кв.дм');
    TextOut(image5.Width-250,60,'Площа
паралелограму='+FloatToStrF(Sp,ffFixed,6,2)+' кв.дм');

for j:=0 to kolpointdet[numdet]-1 do
    begin

```

```
xr[j]:=xm[numdet,j]+xg[qr];  
yr[j]:=ym[numdet,j]+yg[qr];  
end;
```

```
Graph_im5(numdet,mxy/4,kolpointdet[numdet],xr,yr,round(image5.Width/2),round(i  
mage5.Height/2), xc,yc);
```

```
end  
end;
```

```
procedure TForm1.Button2Click(Sender: TObject);  
begin  
  //PageControl1.Visible:=True;  
  PageControl1.ActivePage:=TabSheet1;  
  Open1.Visible:=True;  
end;
```

```
End.
```